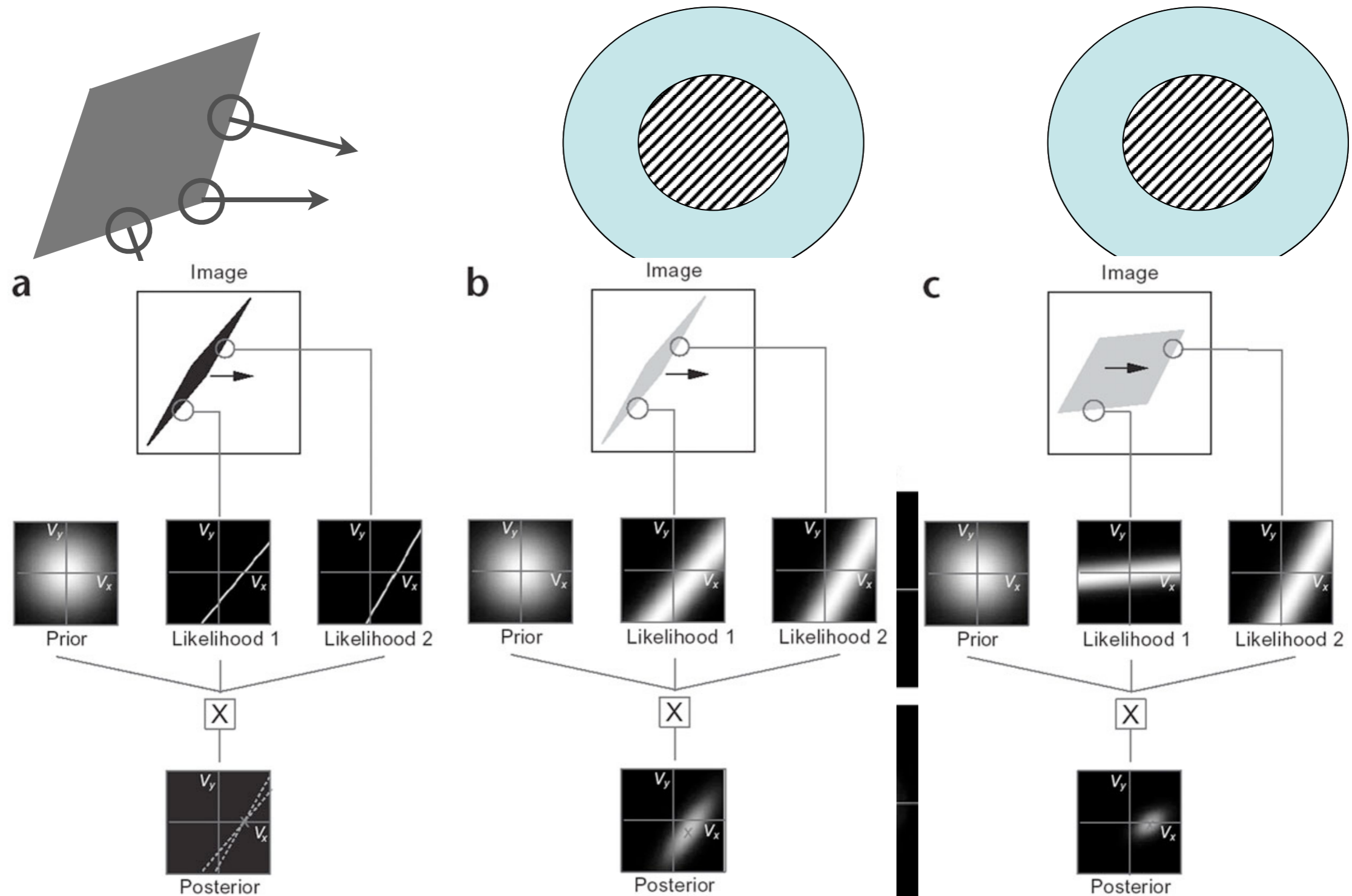


Statisztikus tanulás az idegrendszerben

ORBÁN GERGŐ

golab.wigner.mta.hu

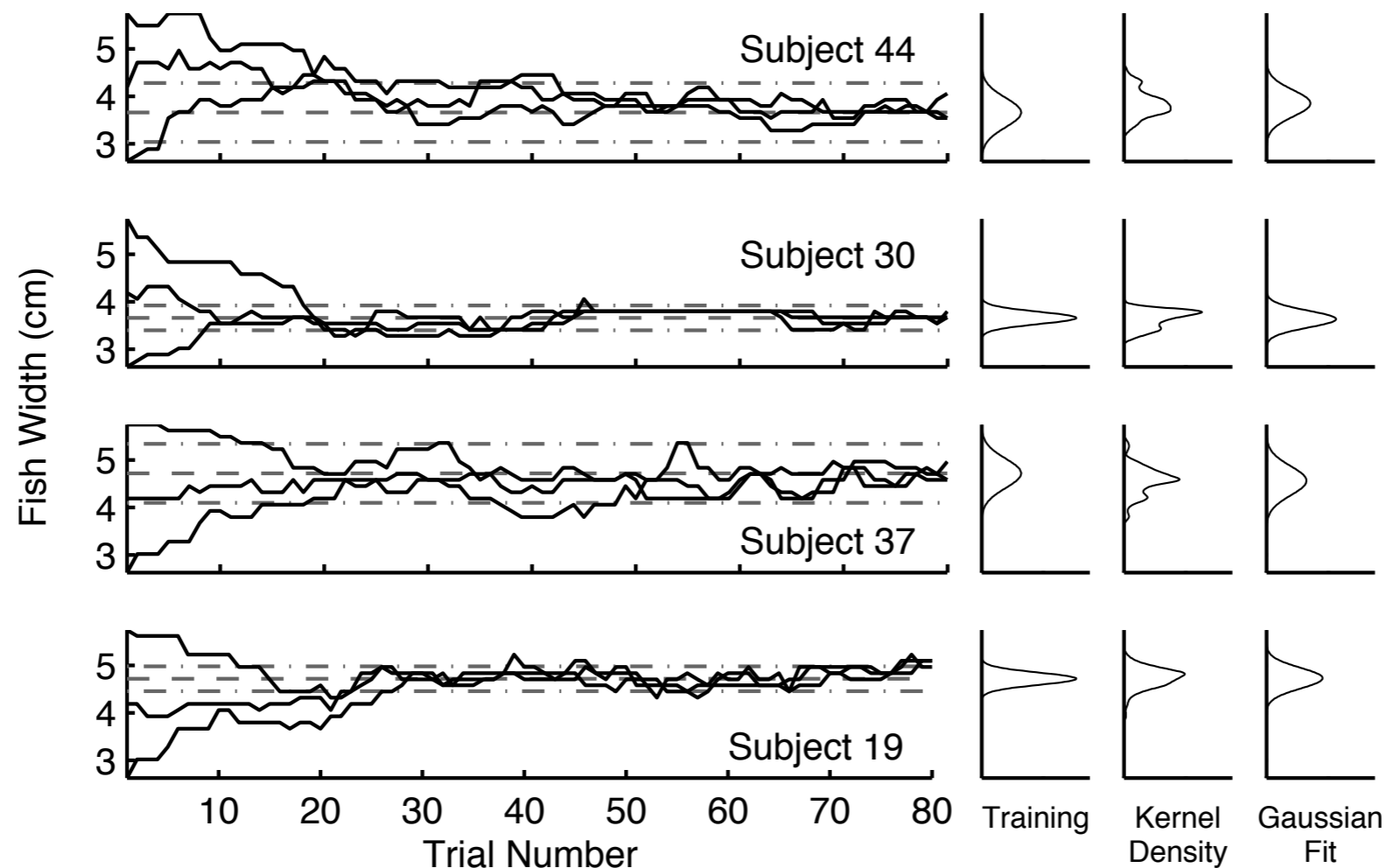
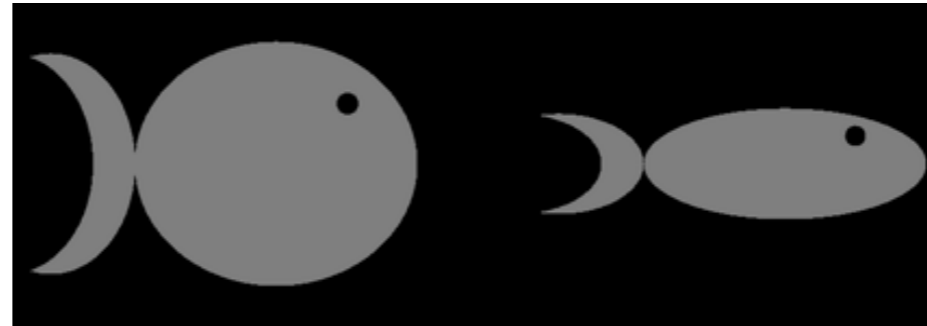
RECAP: Representing priors



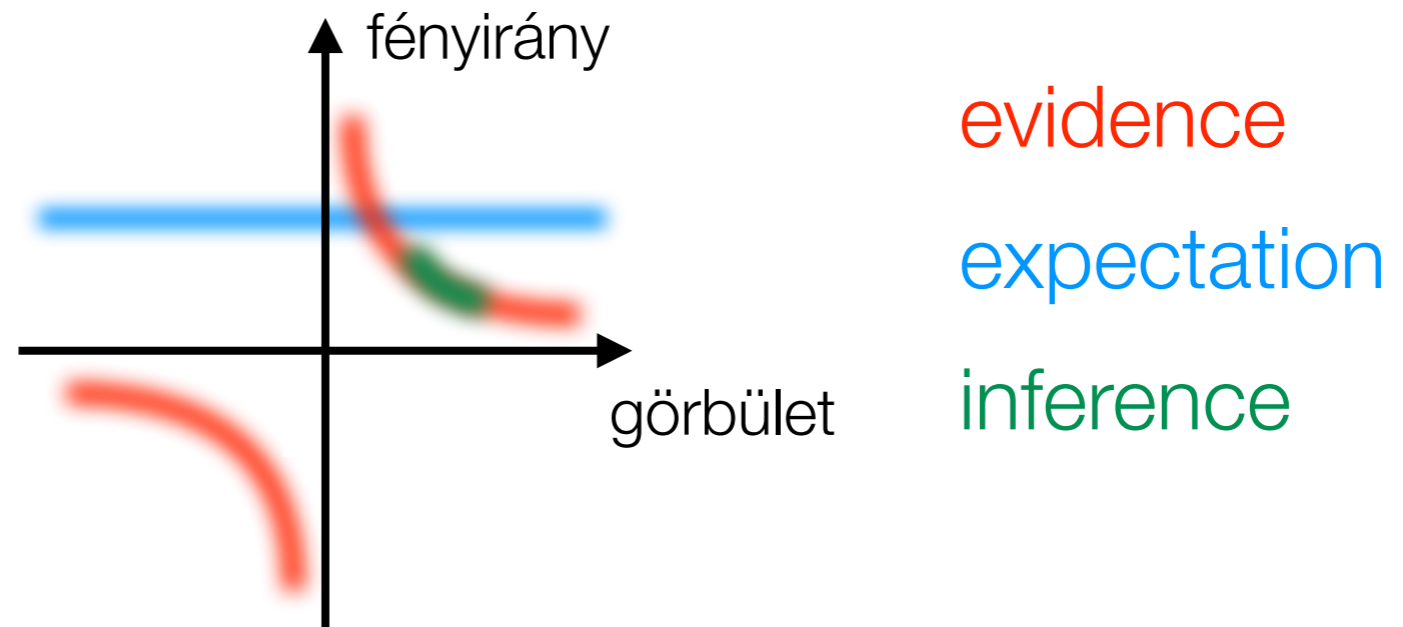
RECAP: representing priors

Barker dynamics:

$$A(x^*, x) = p(x^*) / (p(x^*) + p(x))$$



RECAP: role of priors



$$P(\text{feature} \mid \text{stimulus}) \propto P(\text{stimulus} \mid \text{feature}) \times P(\text{feature})$$

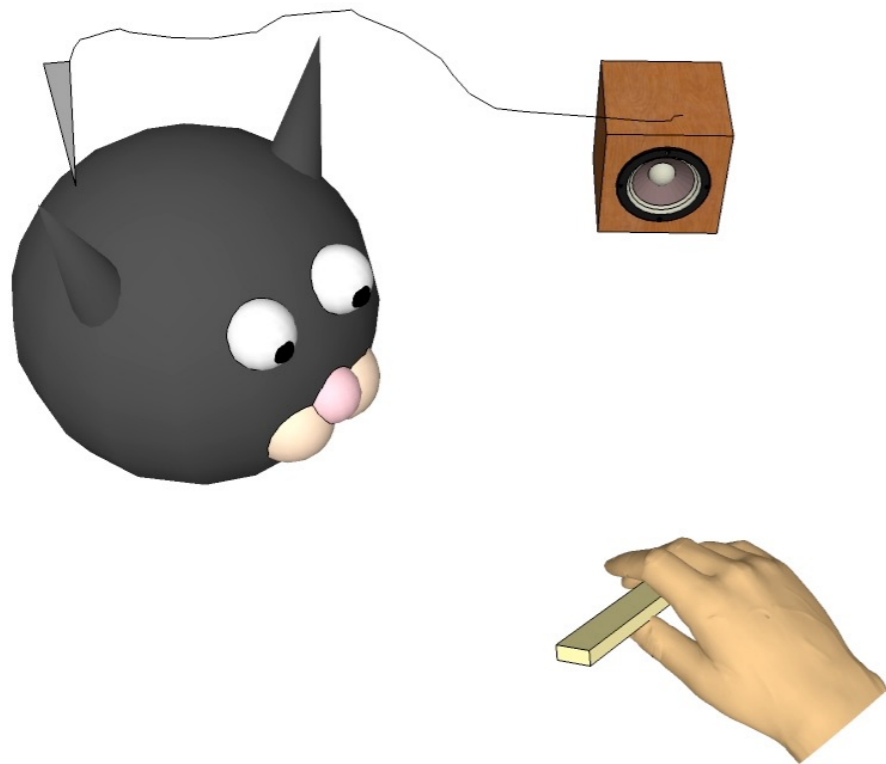
posterior: inference

likelihood: evidence

prior : expectations

features \leadsto neurons

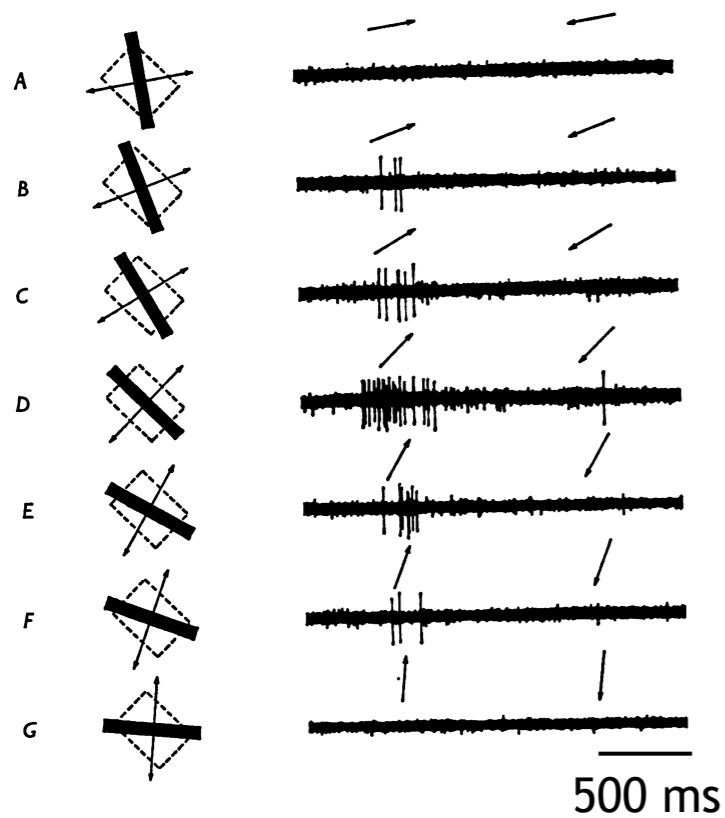
Neurális válaszok



Simple Cell

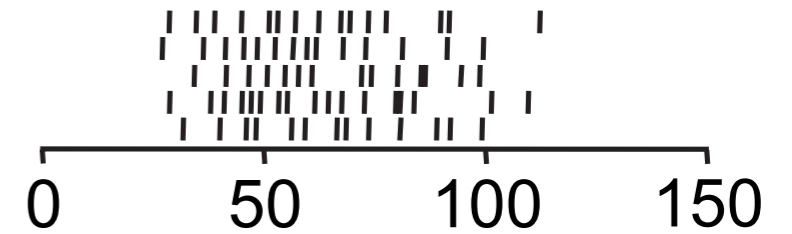
Neurális válaszok

V1 characteristic response

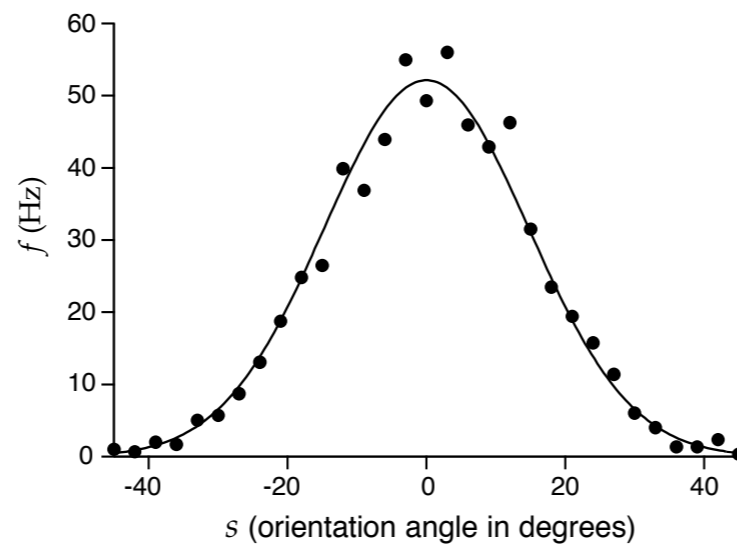


Hubel & Wiesel, *J Physiol* 1968

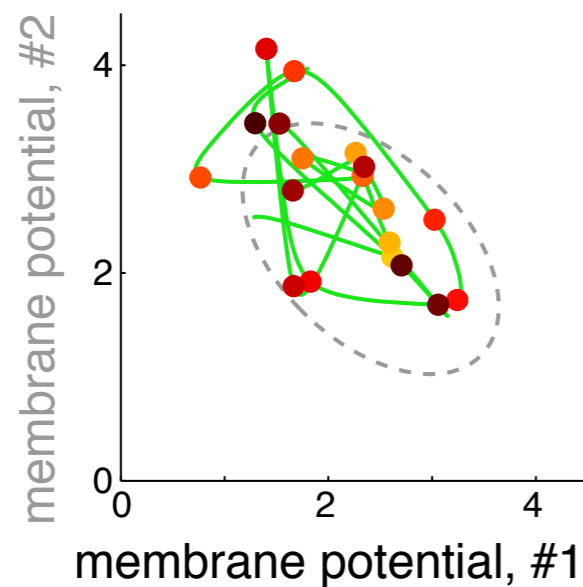
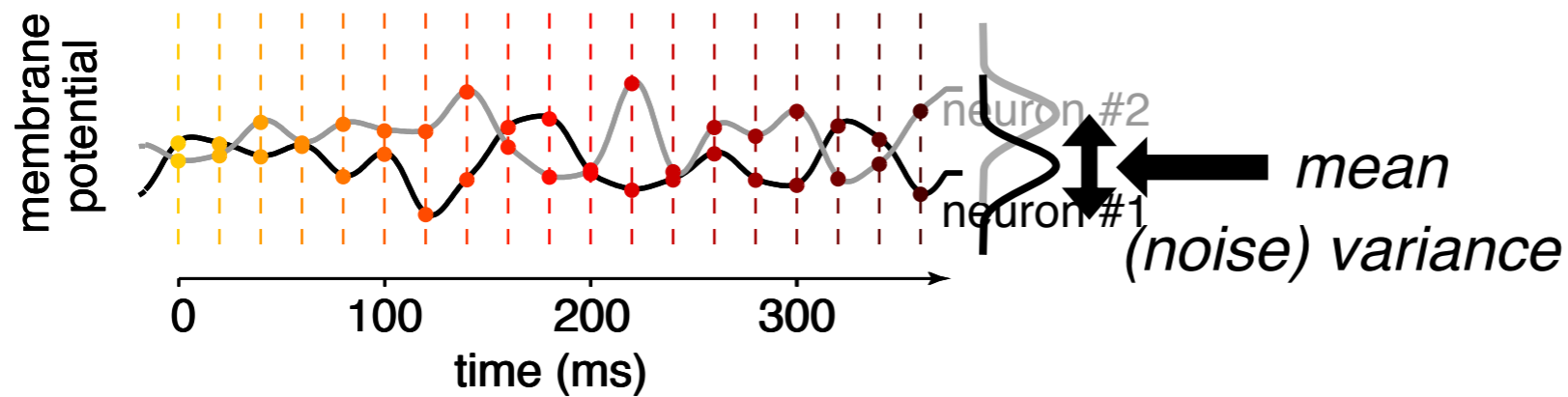
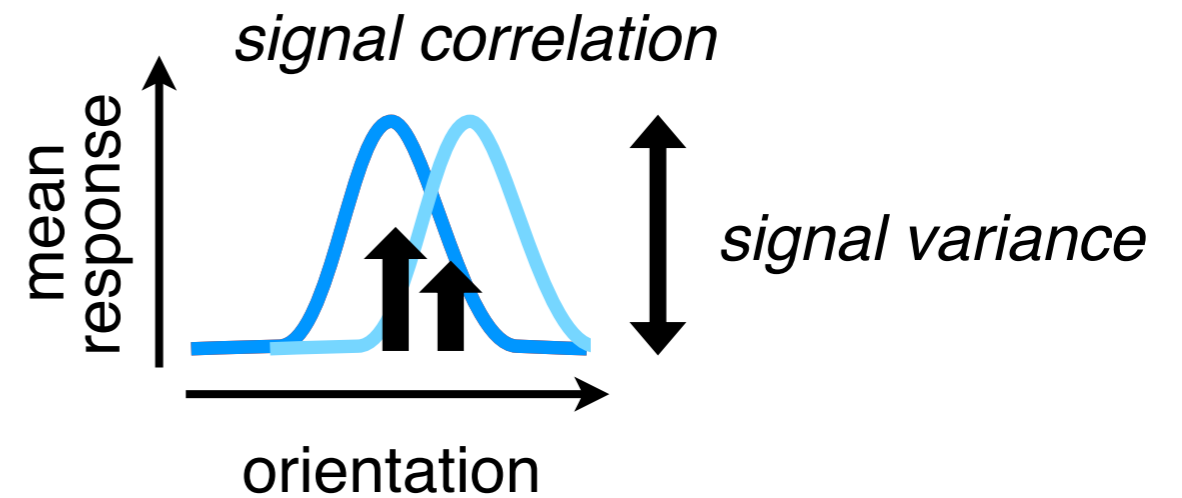
V1 spike train variability



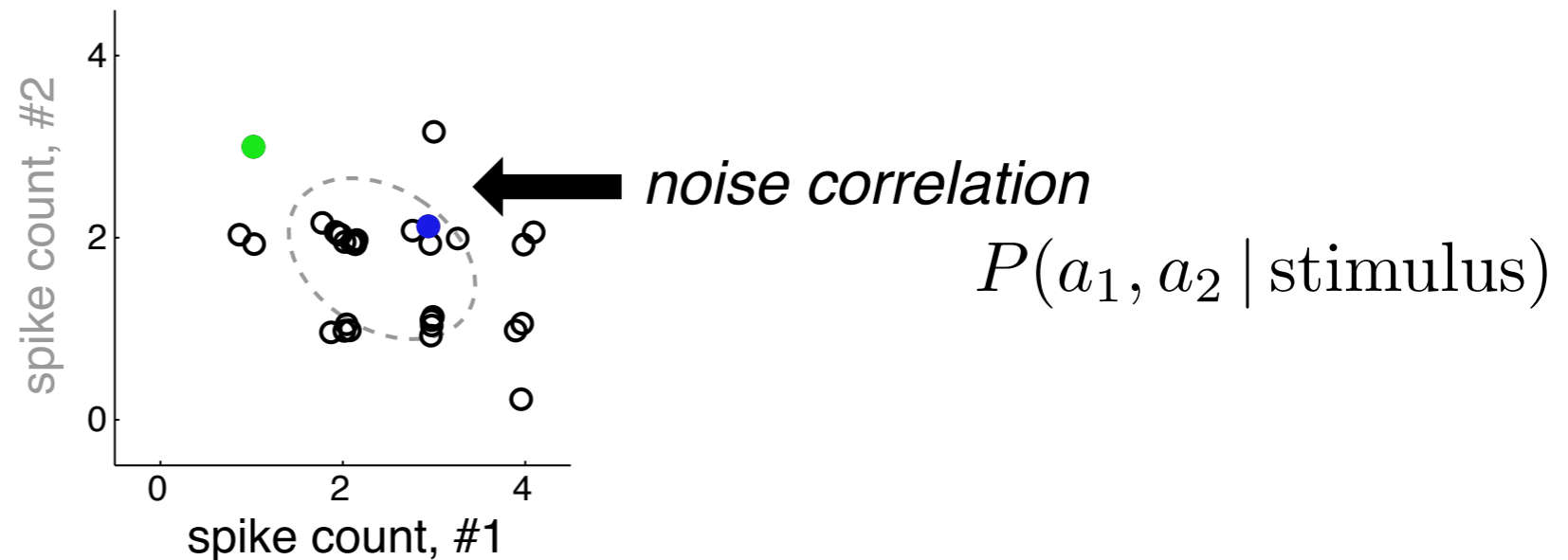
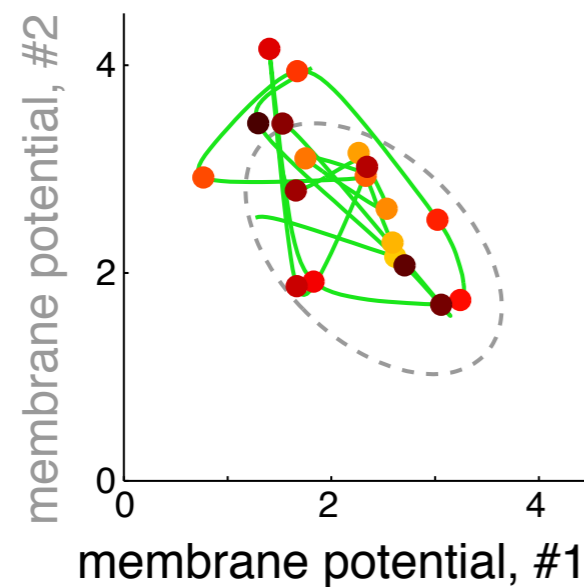
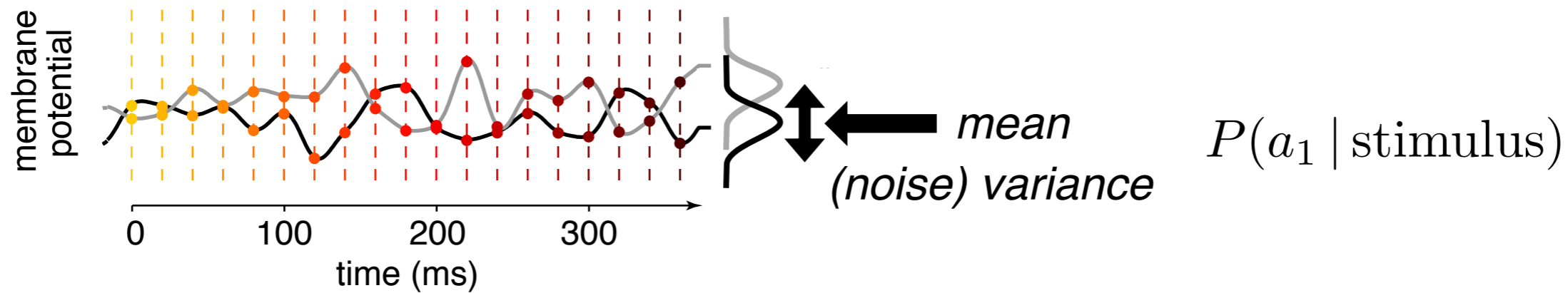
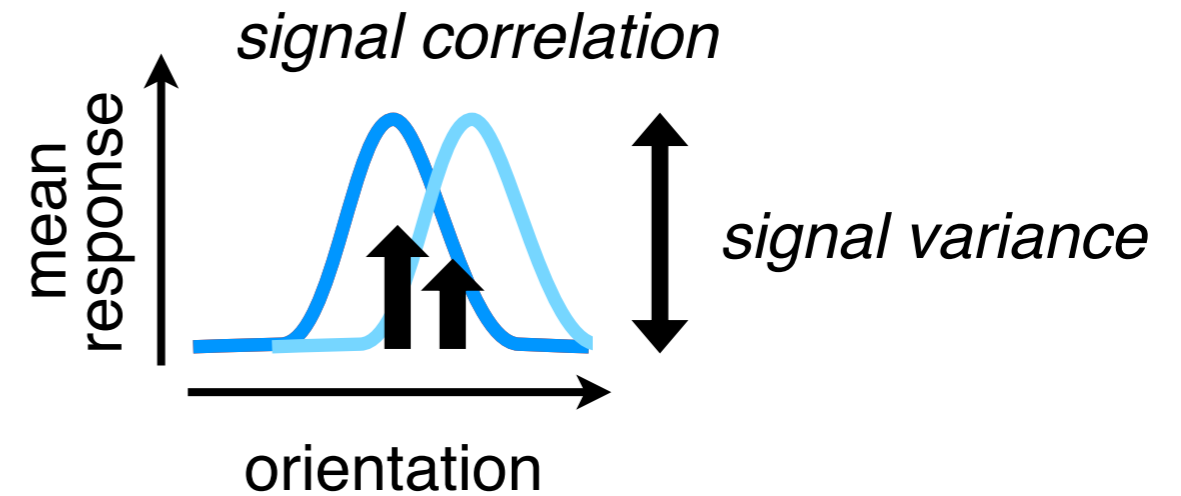
Gur & Snodderly, *Cereb Cortex* 2006



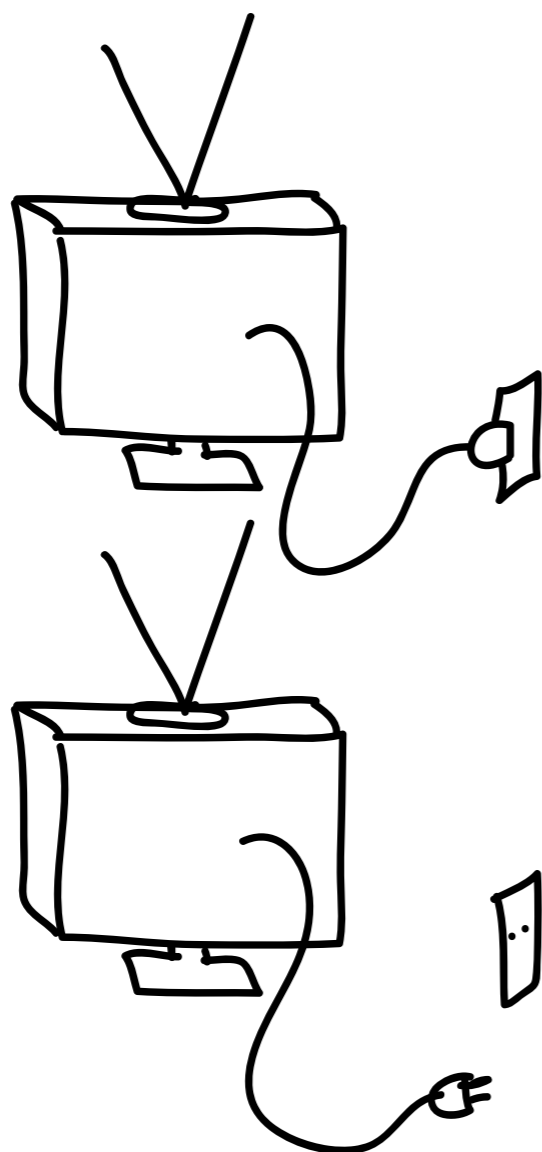
response statistics



response statistics



spontaneous activity



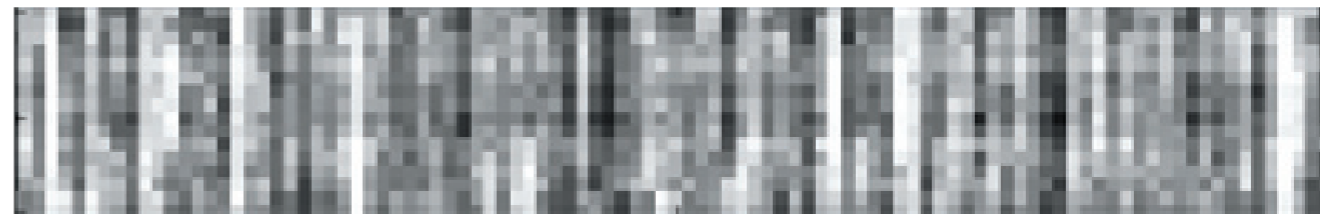
electrode #



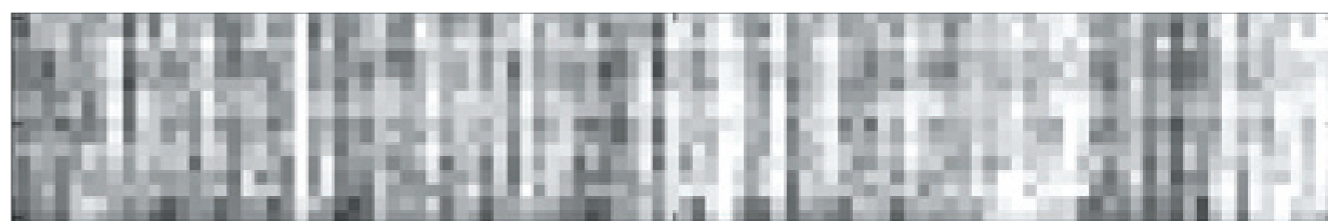
1



16



time

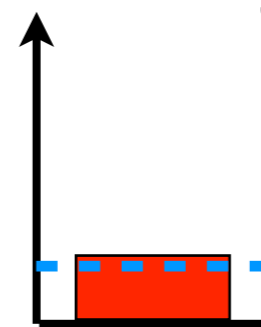


time



spontaneous correlation
 $P(a_1, a_2)$

dissimilarity



finite data margin

Unsupervised learning

Input: x_1, x_2, \dots, x_t összefoglaló néven: adat -
vizuális, auditoros, szöveg

Gól: $P(\mathbf{x})$

(Reinforcement learning:

Input: $\{x_1, y_1\}, \{x_2, y_2\}, \dots, \{x_t, y_t\}$

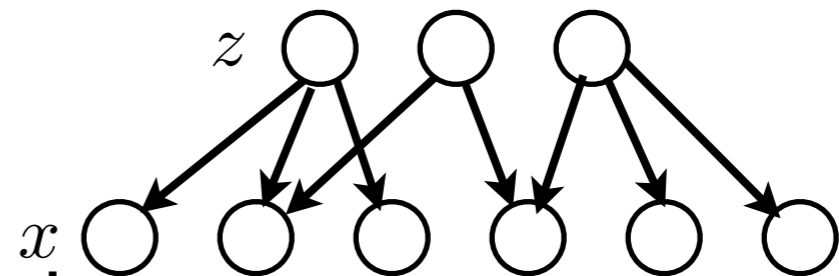
Gól: $P(\mathbf{x} | \mathbf{y})$

$P(\mathbf{x})$ Bonyolult!

Miért is?

Egyszerűsítés: $P(\mathbf{x}) = P(\mathbf{x} | \mathbf{z}) P(\mathbf{z})$

- az adatot a “z”-k terében reprezentáljuk
- kategorizáció, dimenzió redukció
- általánosabban a feladat: predikció, döntéshozatal, kommunikáció



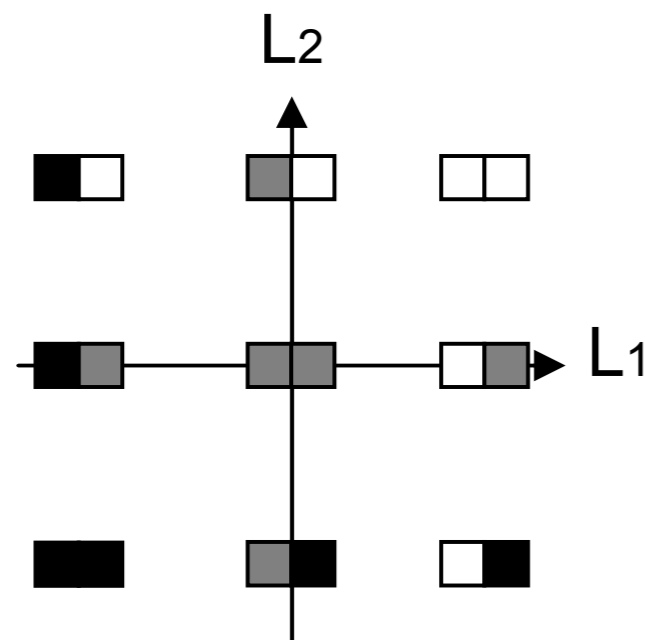
Lineáris modellek

$$P(x | z) = \text{Normal}(x; z, \theta) = C \exp \left((x - Az)^T \Sigma^{-1} (x - Az) \right)$$

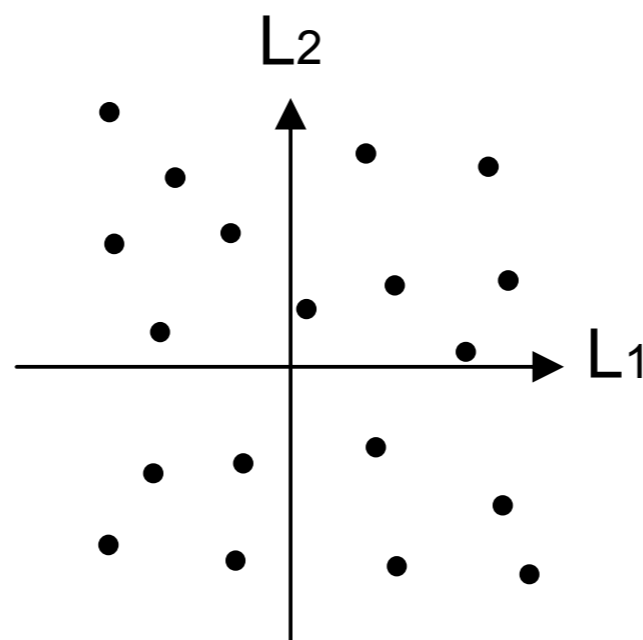
$$x = \mathbf{A} \cdot z + \epsilon$$

PCA

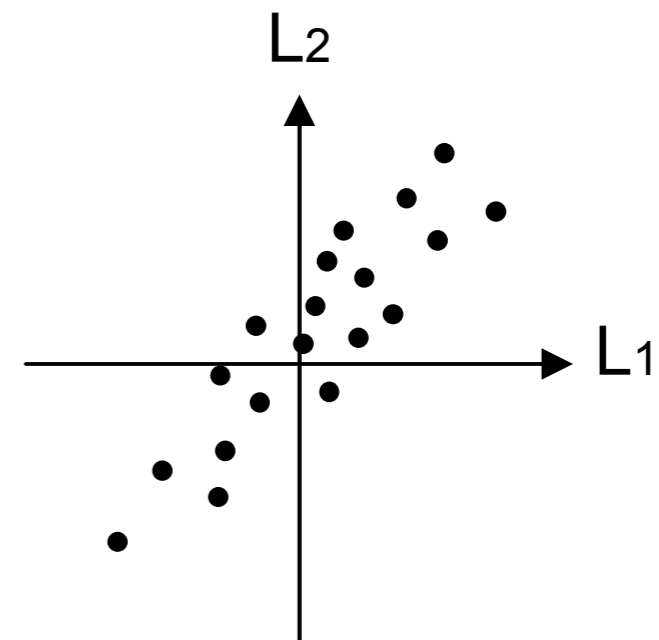
- A oszlopvektorai ortogonálisak
- $D(x) = D(z)$
- Izotróp zaj



State space of two pixel images



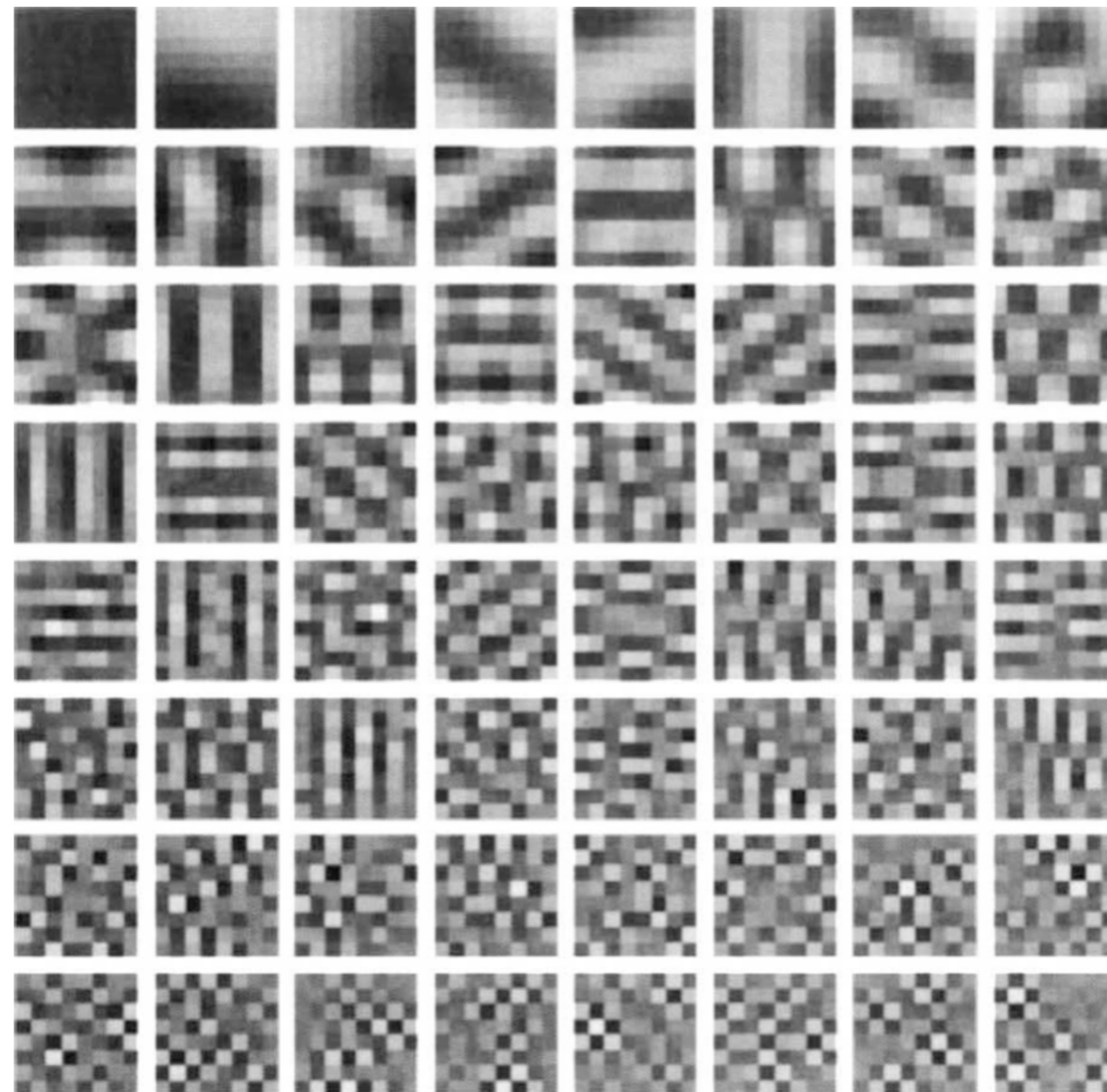
Random images



Structured images

PCA tulajdonságok

- Kompakt kódot eredményez
- Egy adatponért leírásáért általában a teljes hálózat felel



Sparse kódolás, ICA

$$x = \mathbf{A} \cdot \mathbf{z} + \epsilon$$

- “z”-k függetlenek
- y priorja “ritka” ($P(\mathbf{z})$)

Komputációs kritériumok:

- Hiteles rekonstrukció
költség egy adatpontra (képre):

$$\text{cost}_1 = \left(x - \sum_i A'_i \cdot z_i \right)^2$$

- Kis “energiafelhasználás (kevés szimultán aktiv neuron)
további költség a kód “ritkasága”:

$$\text{cost}_2 = - \sum_i S \left(\frac{z_i}{\sigma} \right)$$

S a Gauss-nál nagyobb kurtózissal bíró eloszlás

- teljes költség (~energia):

$$E = -\text{cost}_1 - \lambda \text{cost}_2$$

Sparse kód tanulása: E-M

Algoritmus:

- Itéráció EM lépésekkel
- Random kezdeti feltételek
- Adott konnektivitási mátrixnál az aktivítások segítségével a költség minimalizálása
- Adott aktivitásokkal a költség minimalizálása a súlyok adaptálásával

Adott konnektivitási mátrix esetén a legjobb aktivítások megtalálása:

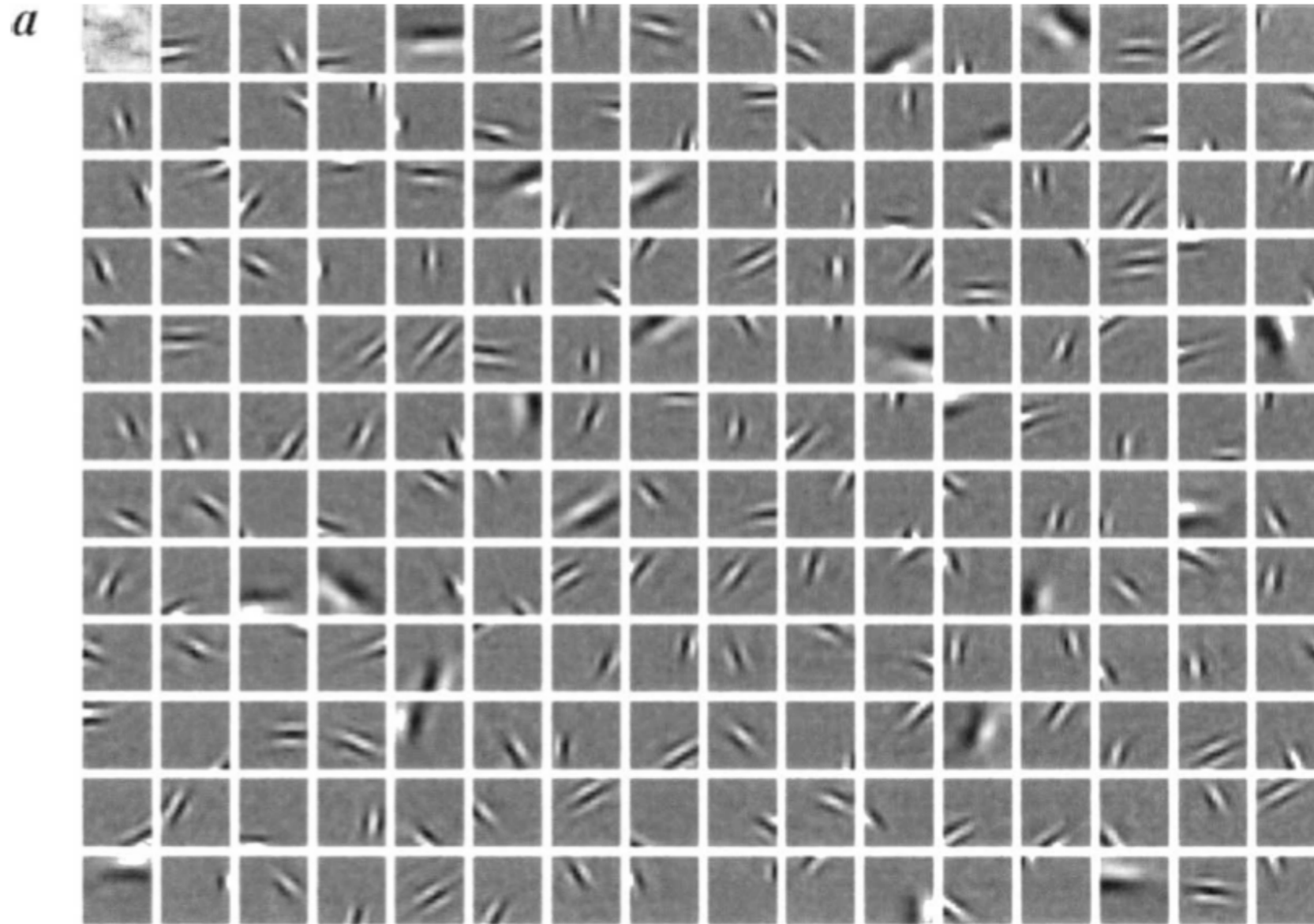
$$\dot{z}_i = \mathbf{A}_i x_t - \sum_j \mathbf{A}'_i \mathbf{A}_j z_j - \frac{\lambda}{\sigma} S' \left(\frac{z_i}{\sigma} \right)$$

Adott konnektivitási aktivációk esetén a legjobb súlyok megtalálása:

$$\Delta A_i = \eta \langle a_i [x - \hat{x}] \rangle_t$$

Sparse kódolás: eredmény

tréningezés természetes képekkel



Olshausen & Field '96

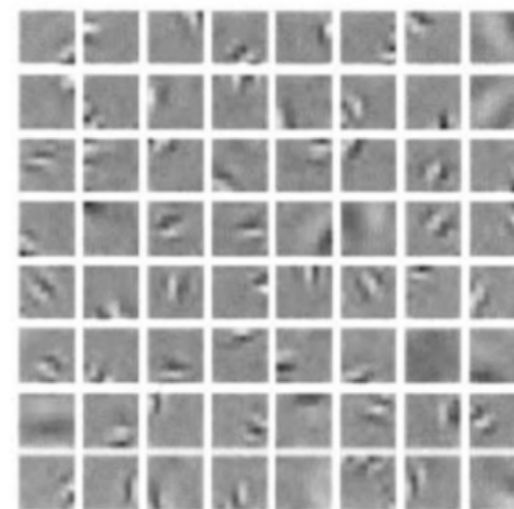
A kialakult bázis:

- irányított
- térbeli sávszűrést valósít meg
- lokalizált

Tanulás és stimulus statisztika

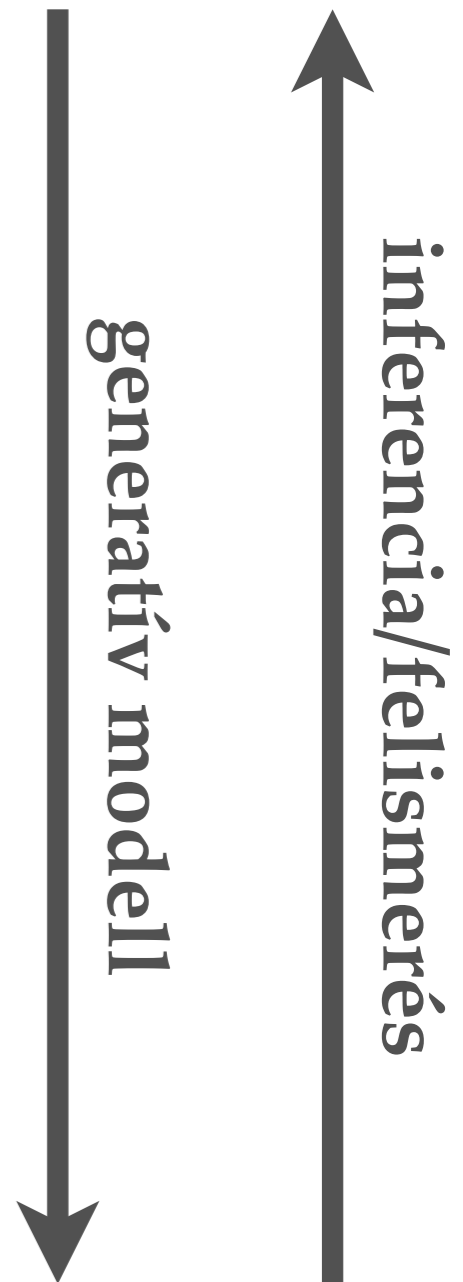
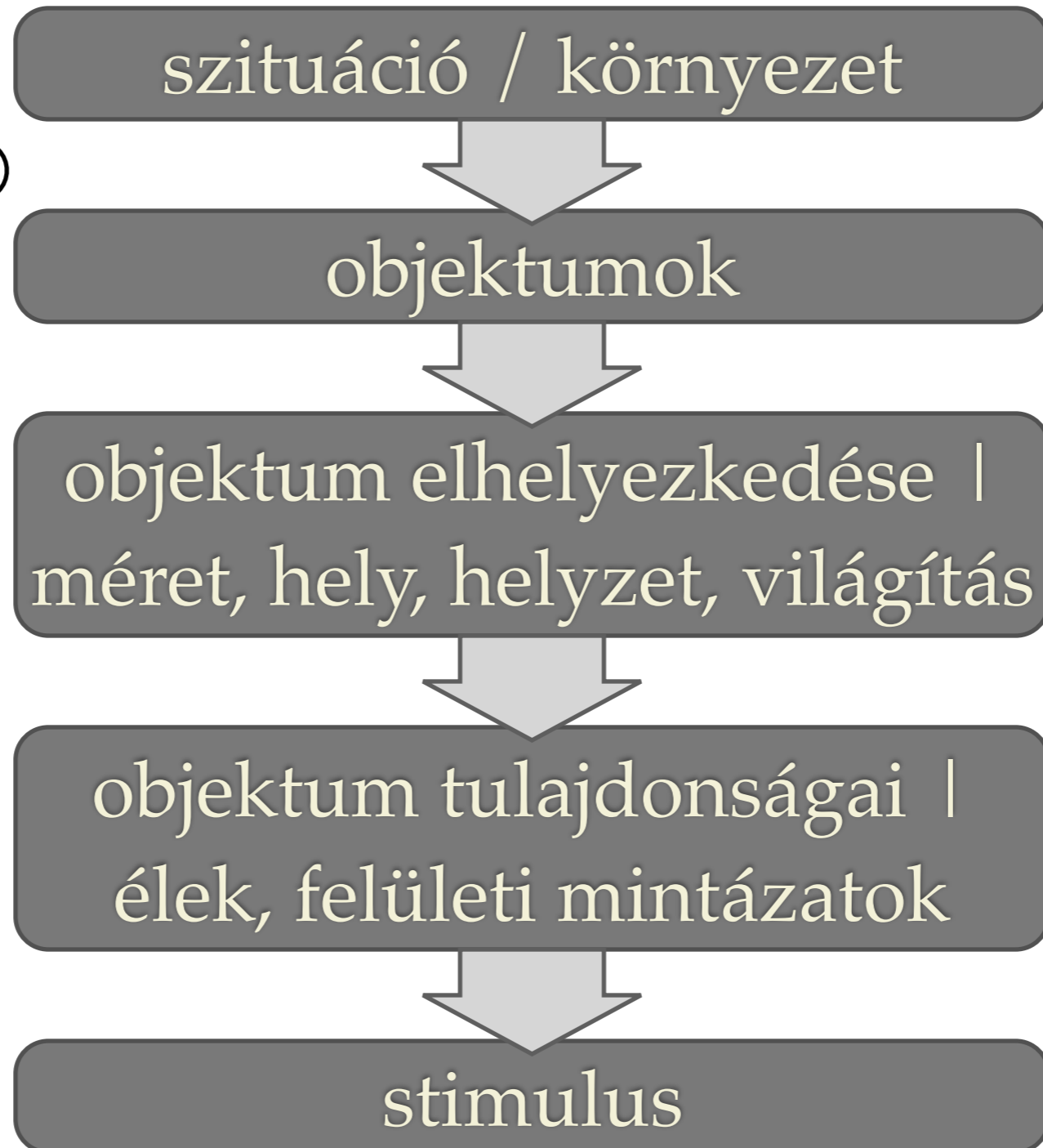
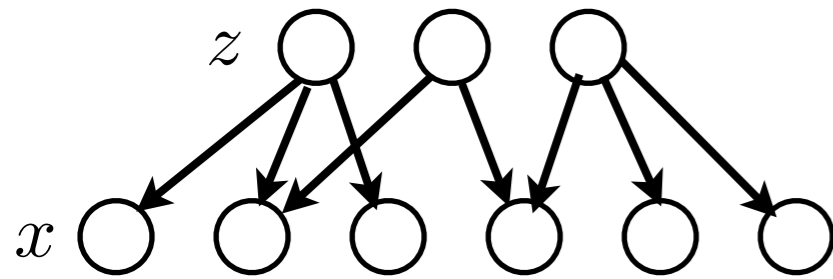
c

Sparse gabors

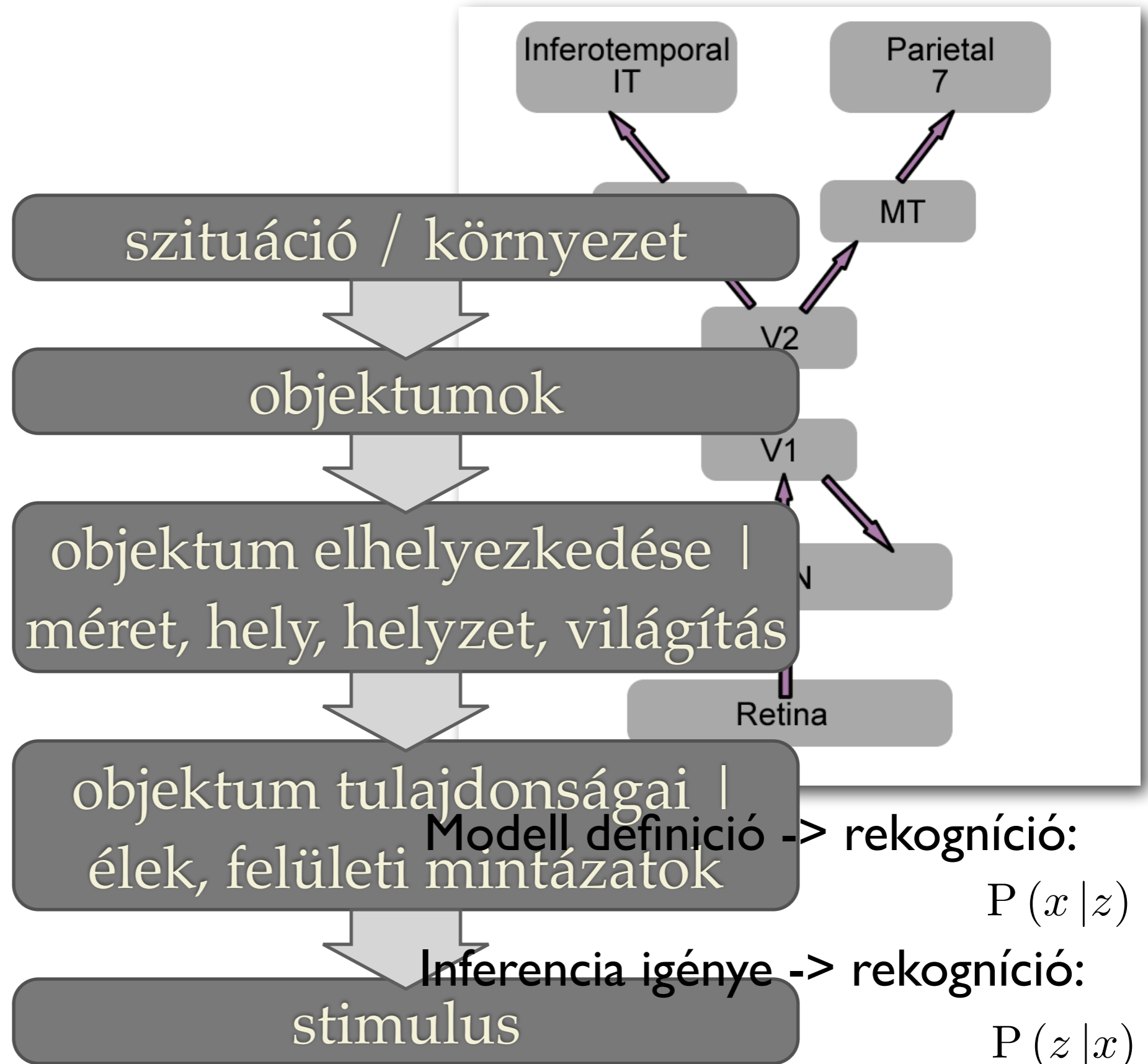


Generatív/rekogníciós modell

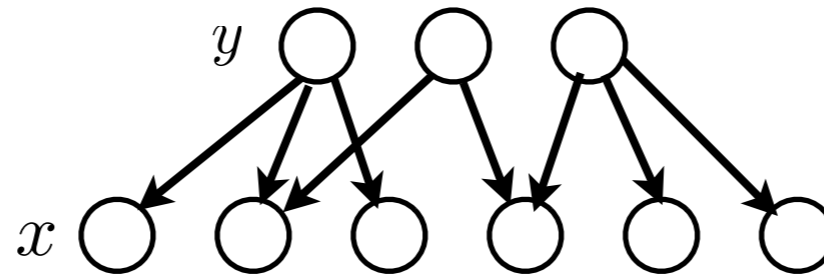
$$P(\mathbf{x}) = P(\mathbf{x} | \mathbf{z}) P(\mathbf{z})$$



Generatív/rekogníciós modell



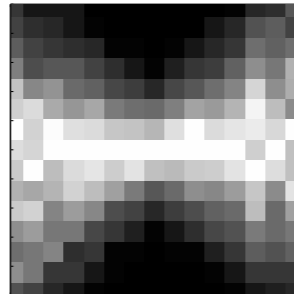
Independens komponensek



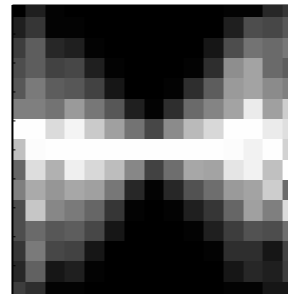
a



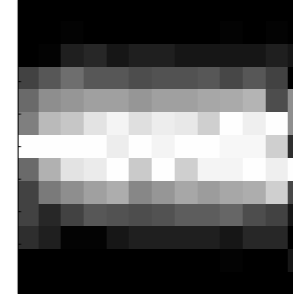
Baboon



Flowers

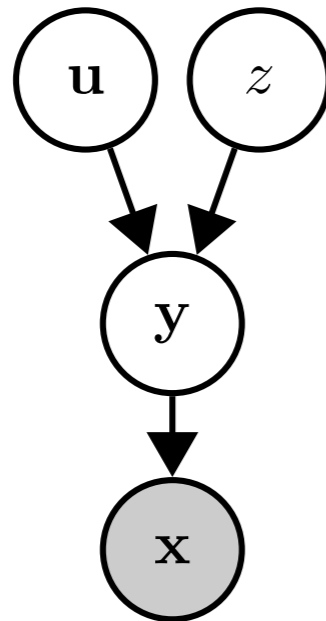


White noise



Schwartz & Simoncelli, 2001

Gaussian Scale Mixtures



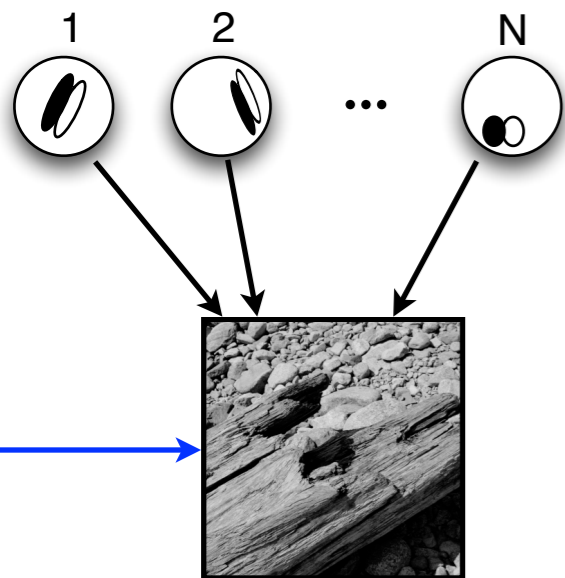
$$P(\mathbf{x}|\mathbf{y}) = \mathcal{N}(\mathbf{x}; \mathbf{A}\mathbf{y}, \sigma_x^2 \mathbf{I})$$

$$\mathbf{y} = z \mathbf{u}$$

$$P(\mathbf{u}) = \mathcal{N}(\mathbf{u}; \mathbf{0}, \mathbf{C})$$

$$P(z) = \text{Gamma}(z; k, \theta)$$

linear features



image

$$\text{image} = \text{contrast} \times (a_1 \text{feature}_1 + a_2 \text{feature}_2 + \dots + a_N \text{feature}_N + \text{noise})$$

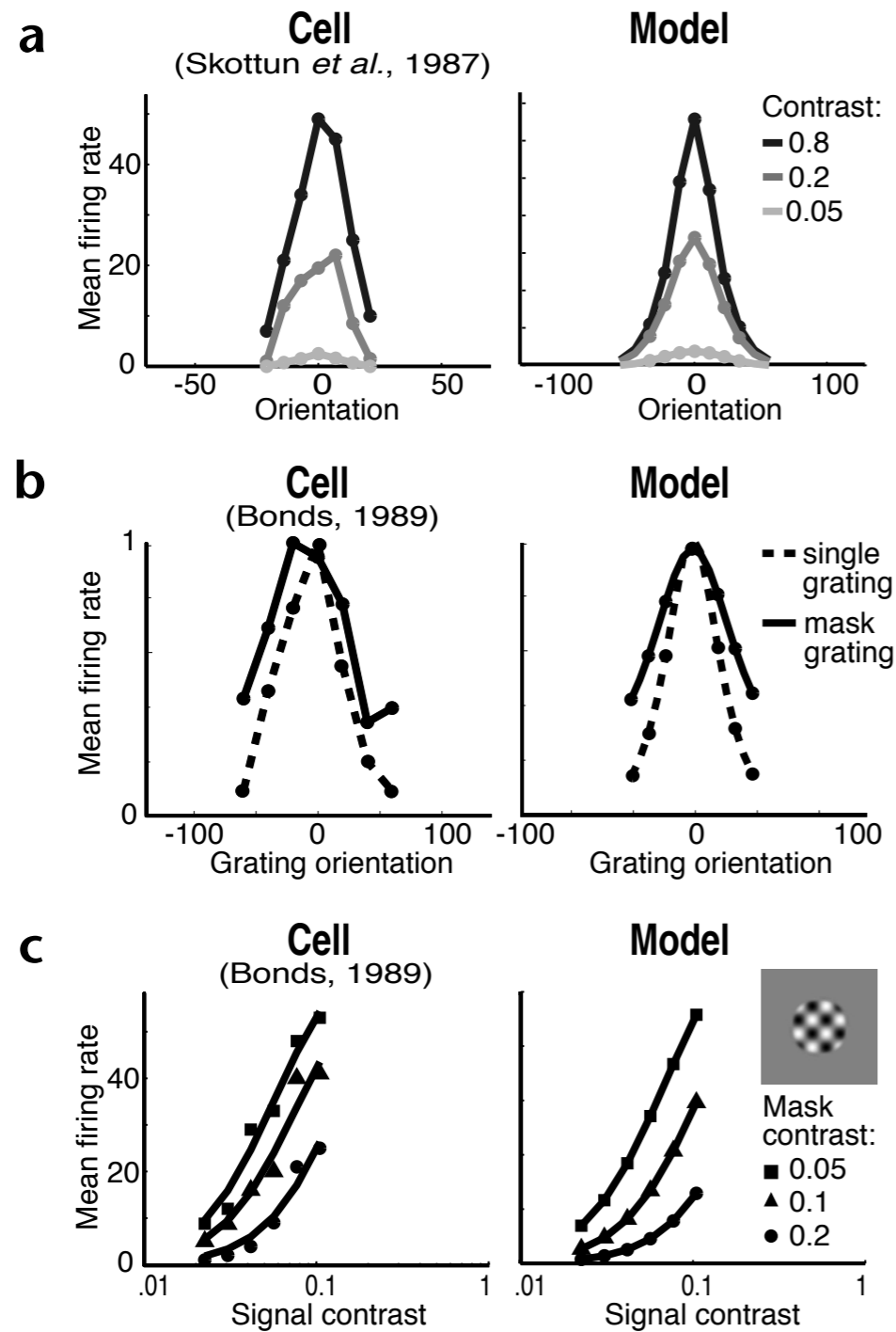
$$\text{var}(L_1|L_2) = wL_2^2 + \sigma^2$$

$$R_1 = \frac{L_1^2}{wL_2^2 + \sigma^2}$$

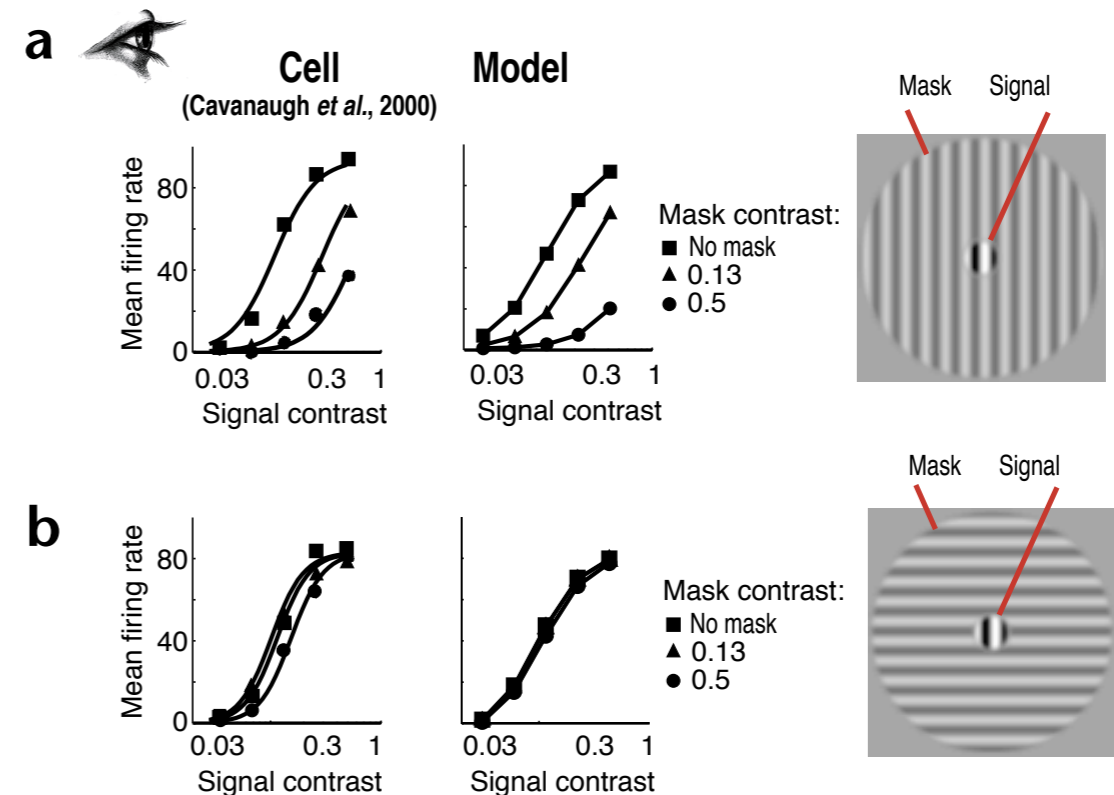
$$\text{var}(L_i|\{L_j, j \in N_i\}) = \sum w_{ji} L_j^2 + \sigma^2$$

$$R_i = \frac{L_i^2}{\sum_j w_{ji} L_j^2 + \sigma^2}$$

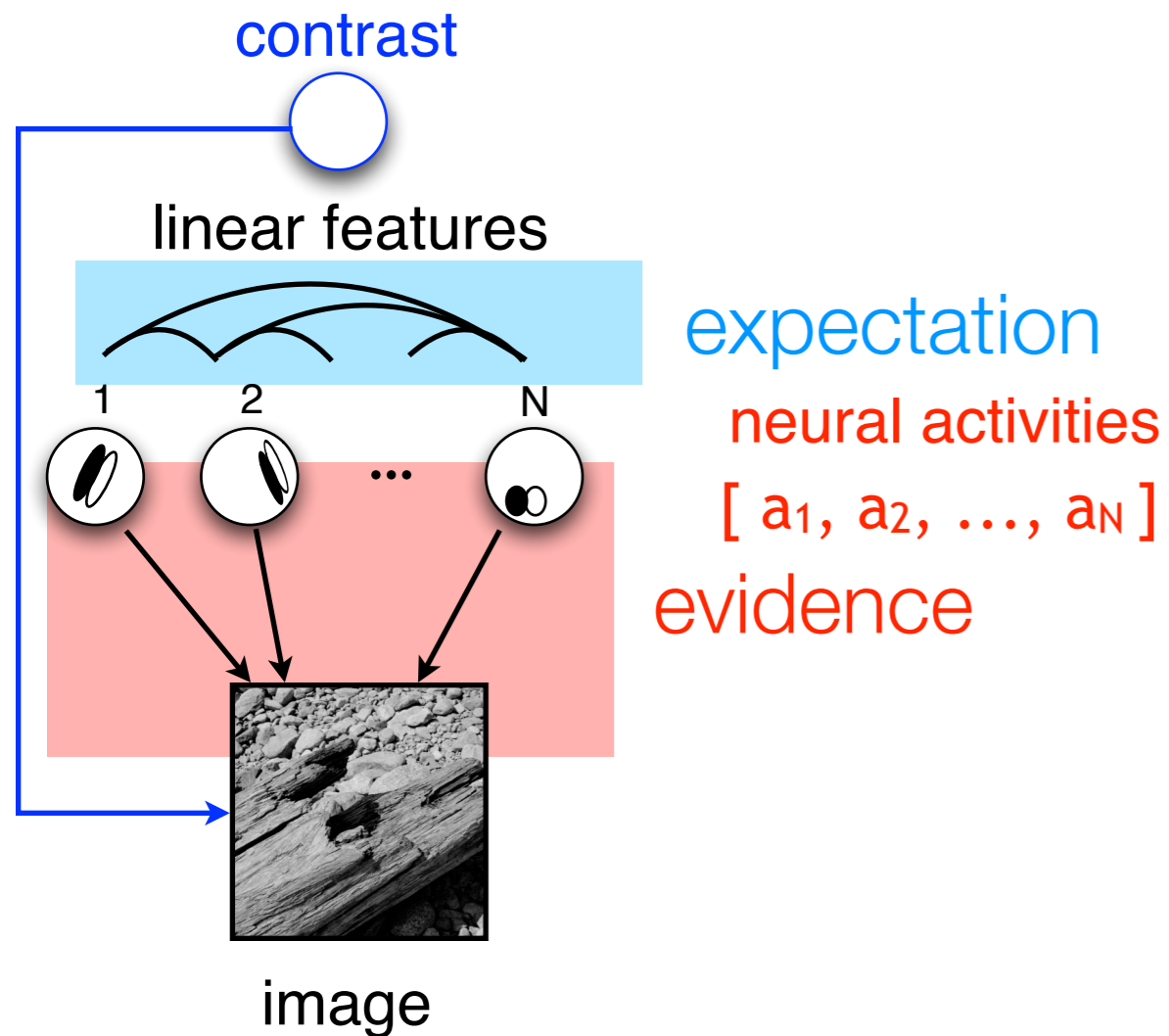
Neurális adatok és GSM



Schwartz & Simoncelli, 2001



Bayesian inference

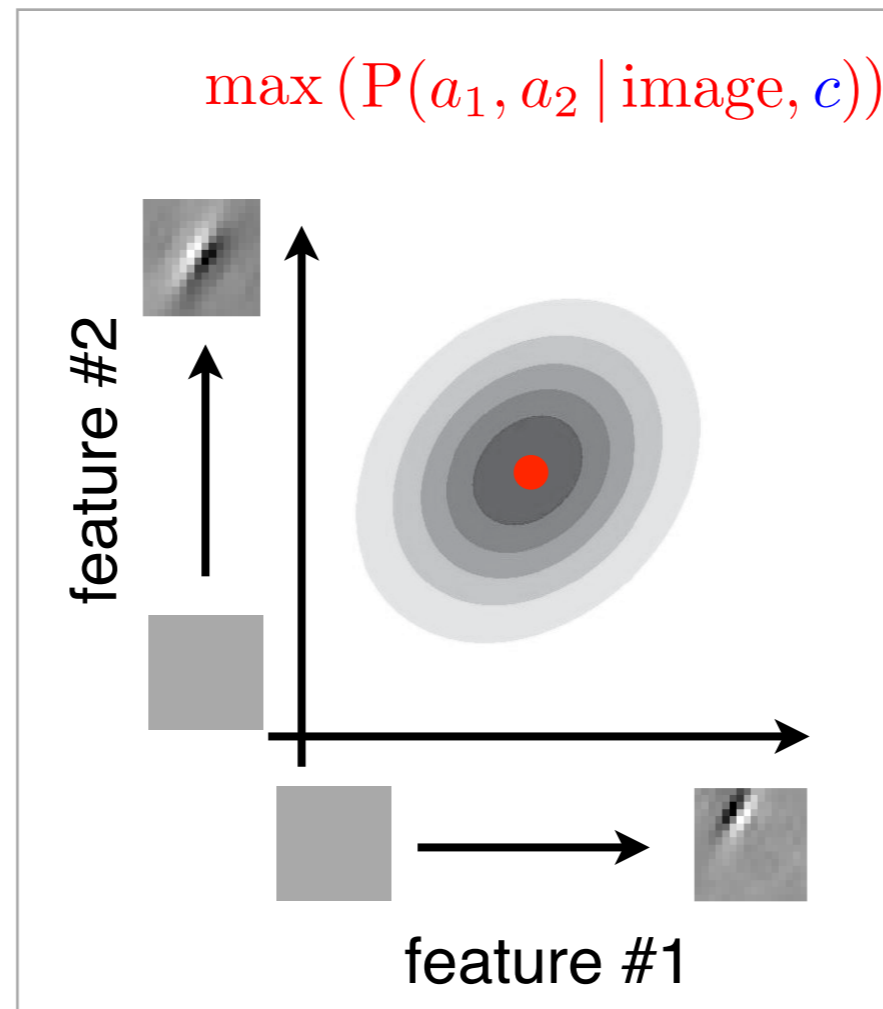


Demonstrated efficiency in:

- ★ pattern-completion
- ★ compression
- ★ denoising

the parametric form of both
evidence and expectation is determined by
natural image statistics

mean responses



traditional theories
e.g. Olshausen & Field, Nature 1996,
Schwartz & Simoncelli, Nat Neurosci 2001

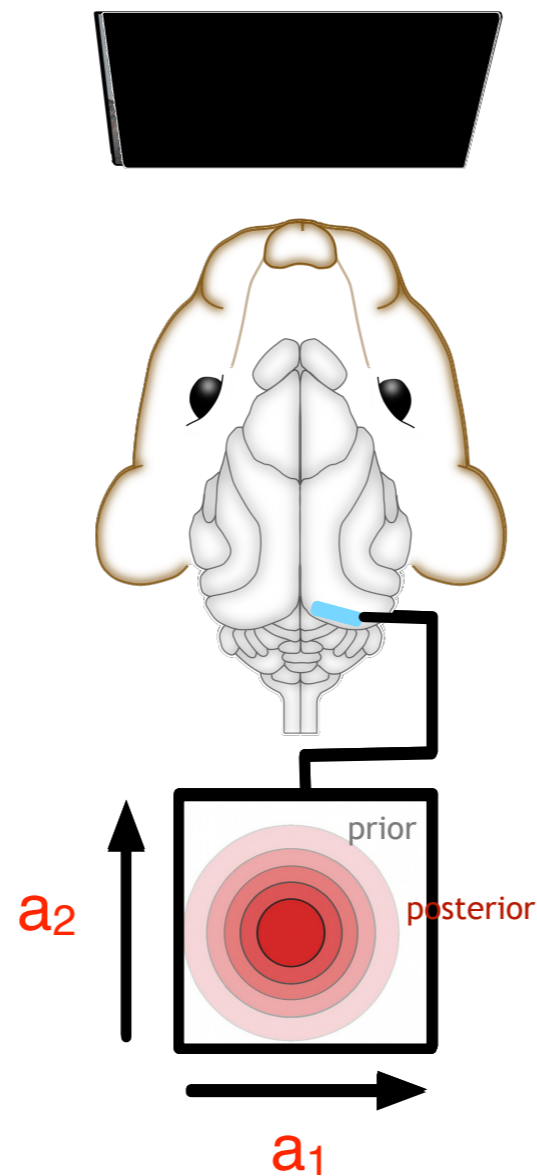
mean response \leadsto maximum a posteriori inference

roadmap

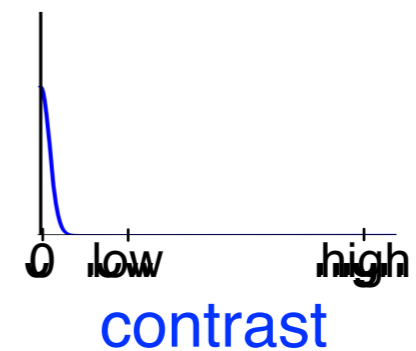
- image model
- **consequence of the representation of prior**
- stimulus-dependence of variability
- stimulus dependence of covariability of multiple neurons

inference and uncertainty

$$\underbrace{P(a_1, a_2, \dots, a_N \mid \text{image}, c)}_{\text{posterior}} \propto \underbrace{P(a_1, a_2, \dots, a_N \mid c)}_{\text{prior}} \times \underbrace{P(\text{image} \mid a_1, a_2, \dots, a_N, c)}_{\text{sensory evidence}}$$



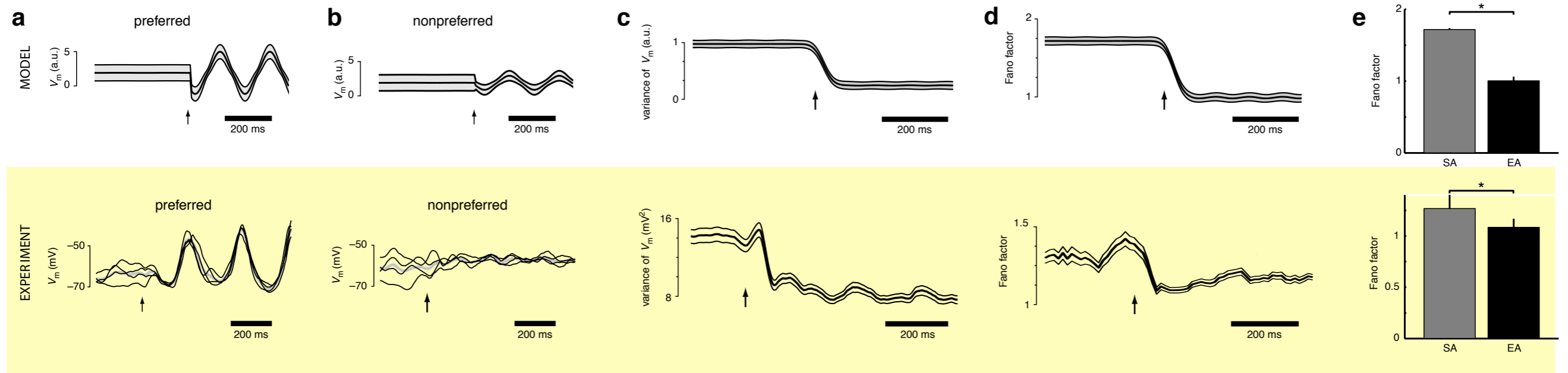
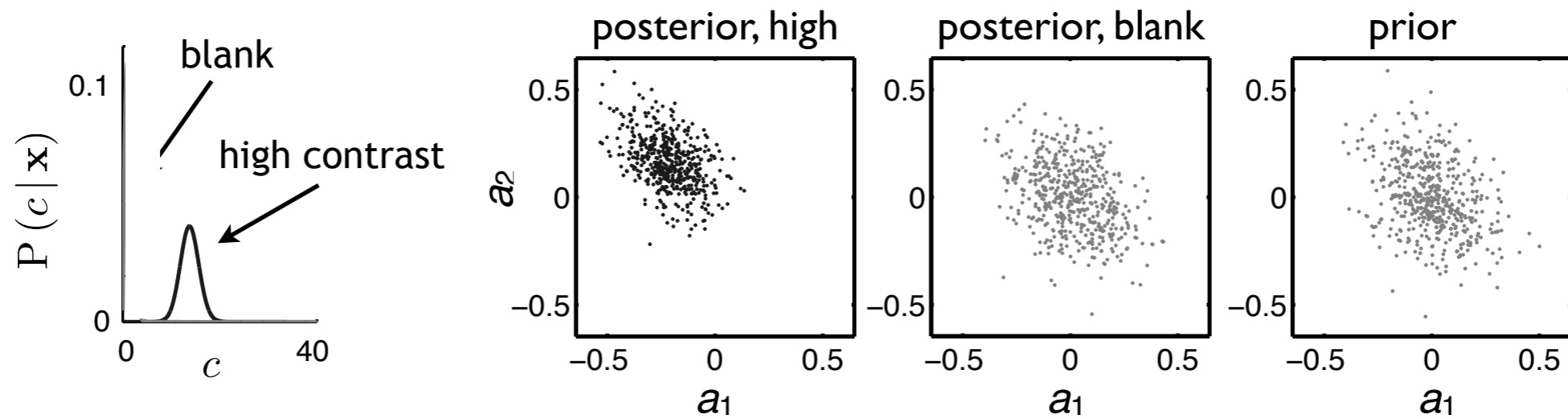
$P(\text{contrast} \mid \text{image})$



roadmap

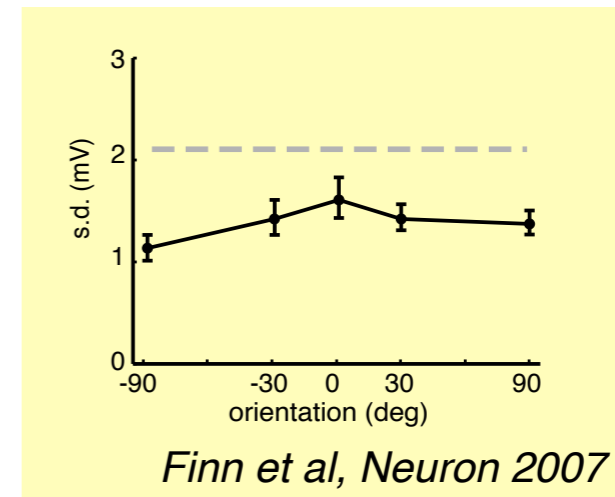
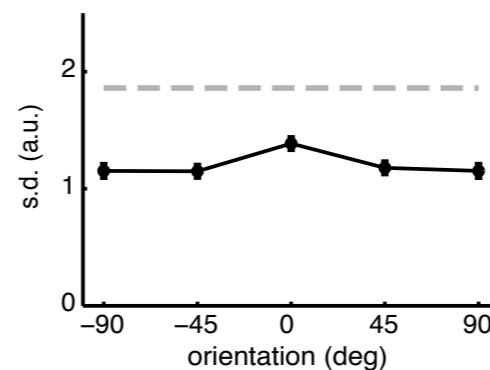
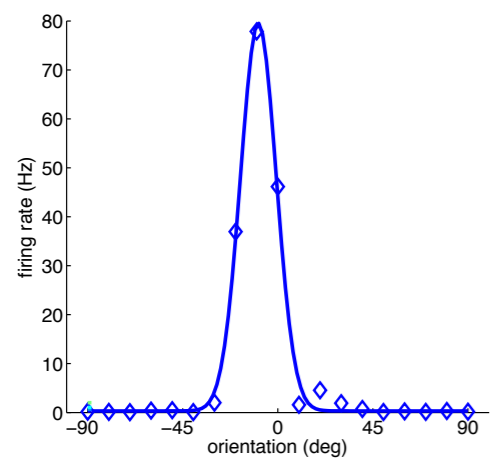
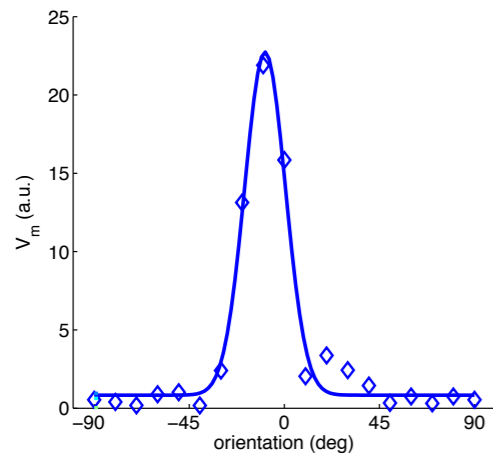
- image model
- consequence of the representation of prior
- **stimulus-dependence of variability**
- stimulus dependence of covariability of multiple neurons

Stimulus onset quenches neural variability

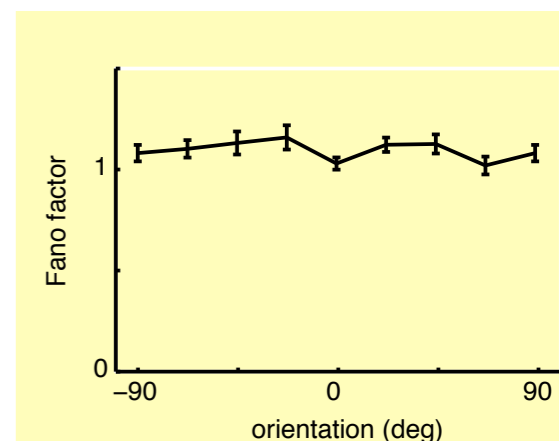
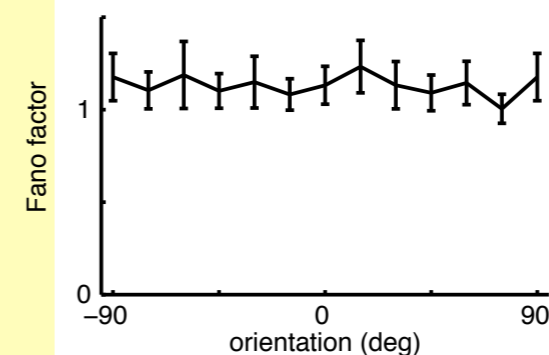
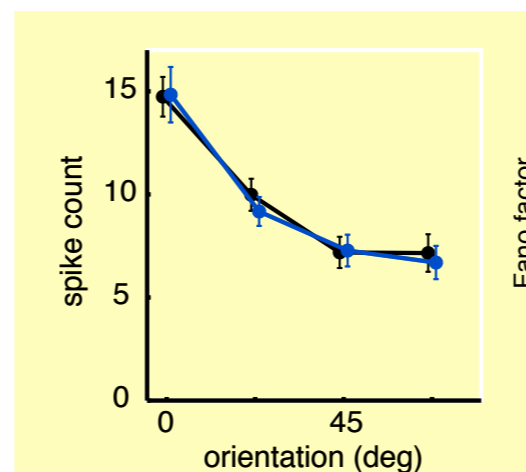
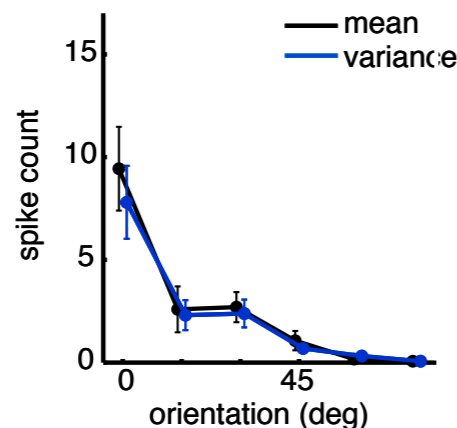


Orientation-dependence of response statistics

- orientation has a big impact on response mean
- however, no change in uncertainty is expected
- no significant change in variance is expected in membrane potential

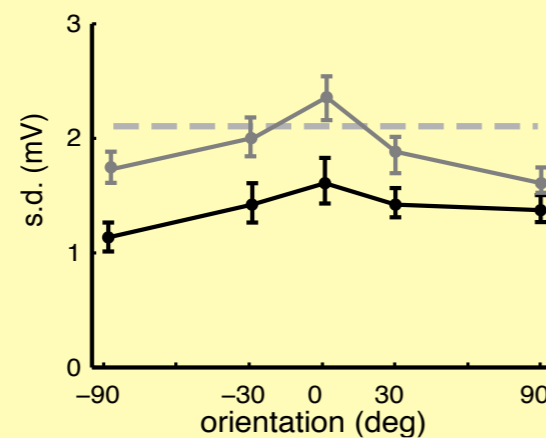
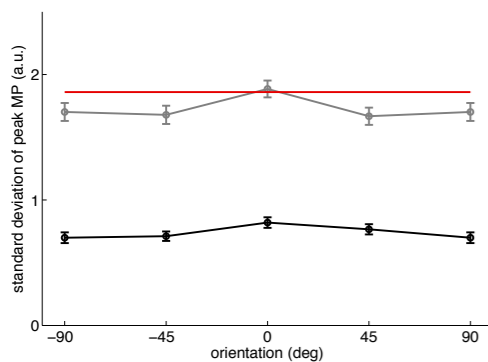
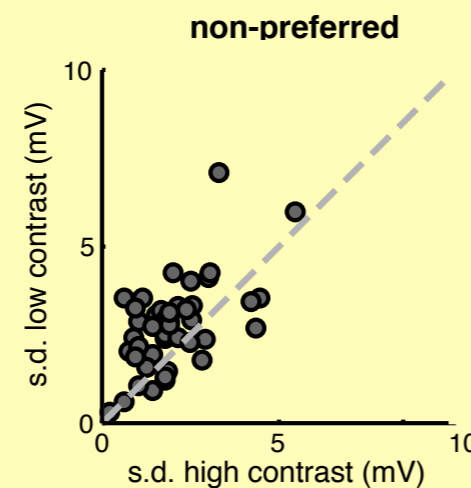
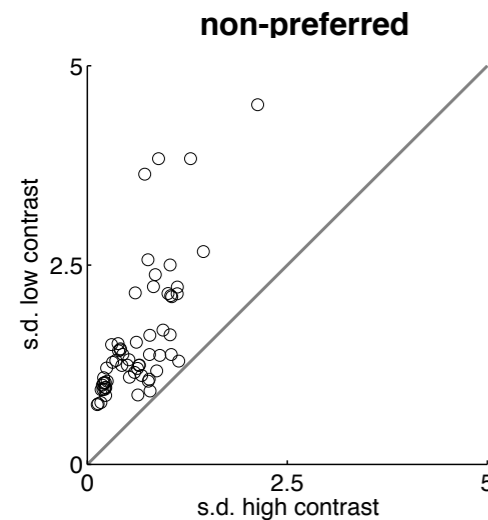
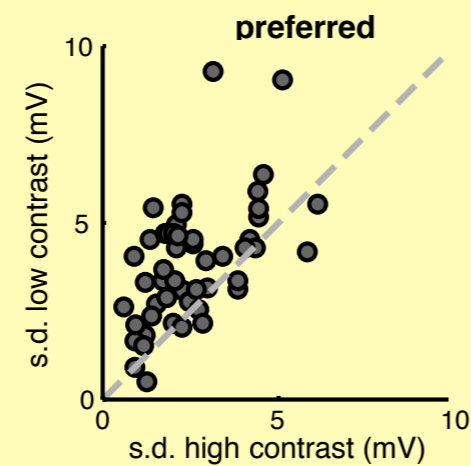
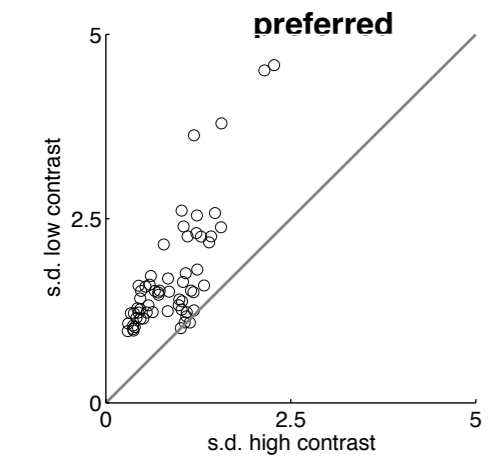


- spike count variance increases with firing rate
- Fano factor is still expected to be independent of orientation

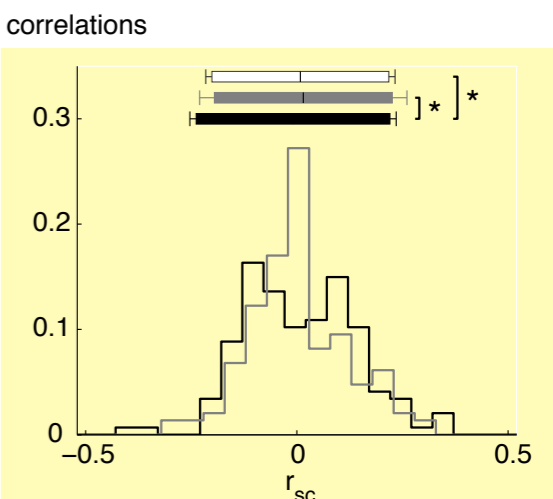
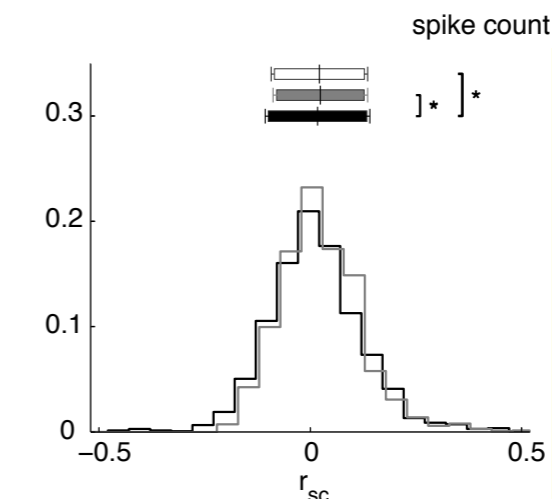
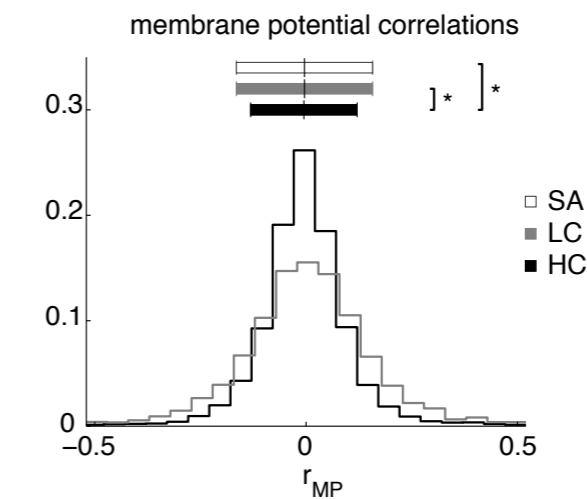
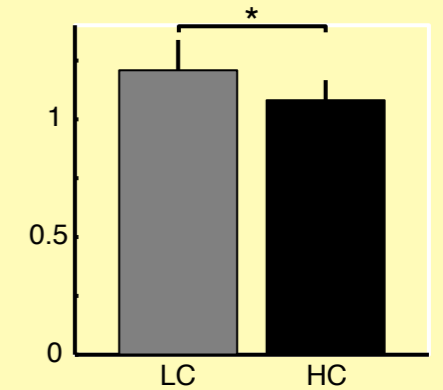
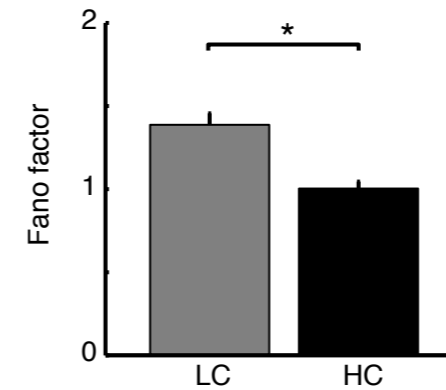


Contrast-dependence of response statistics

- contrast has fundamental effect on mean: *decreased* contrast results in *decreased* mean
- decreased *contrast* results in *increased* uncertainty

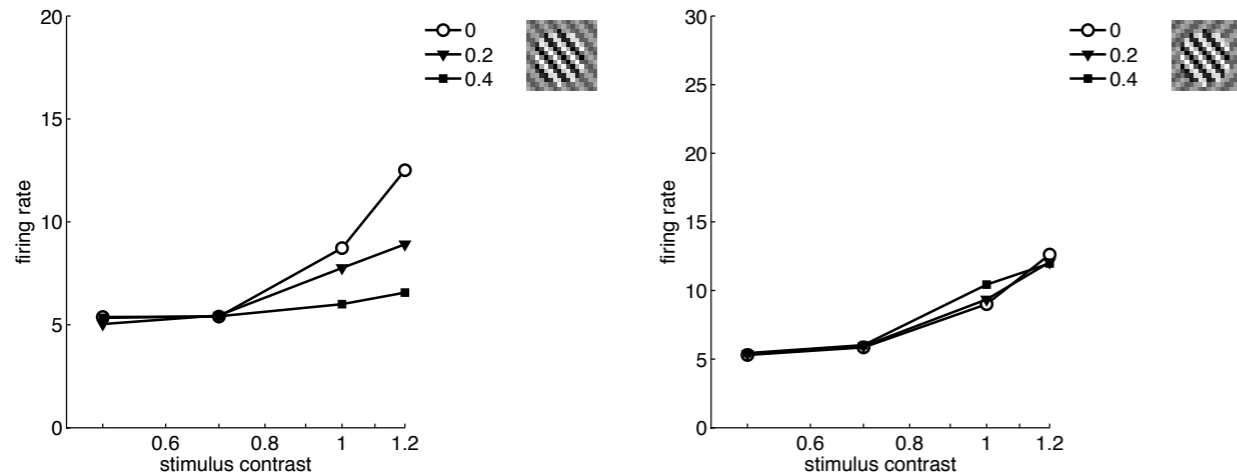


Finn et al, Neuron 2007

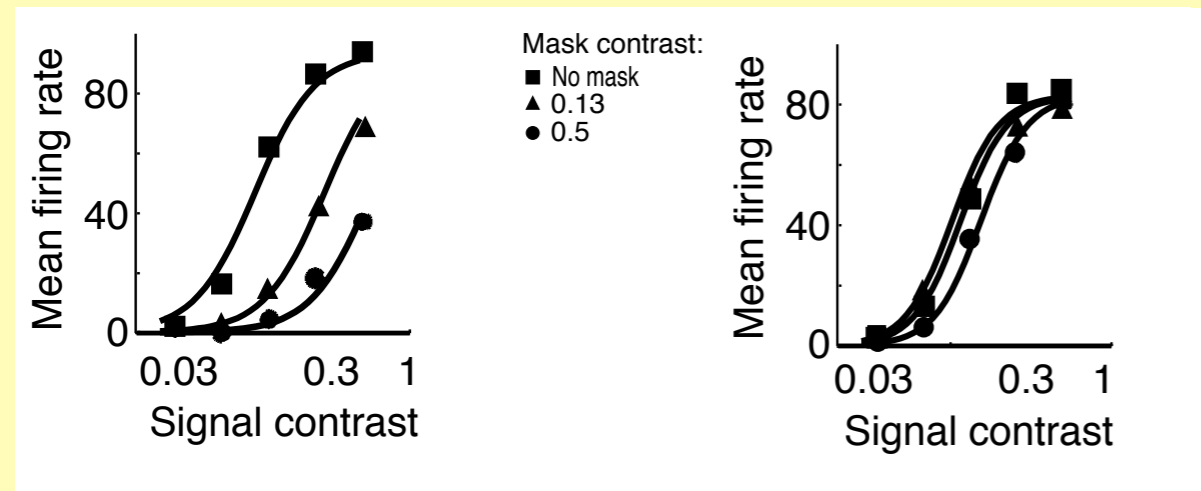
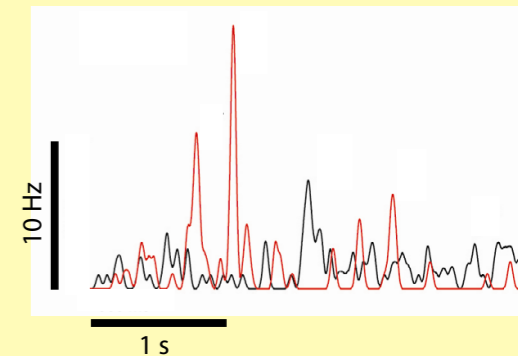
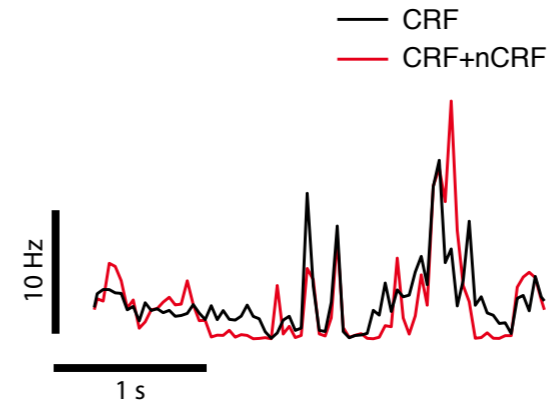


Non-classical RF dependence of response statistics

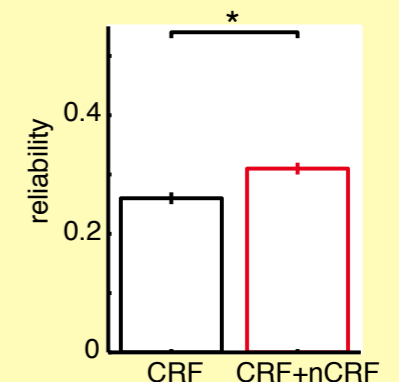
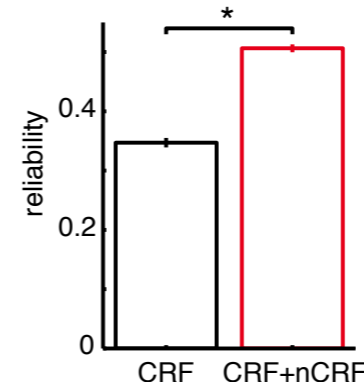
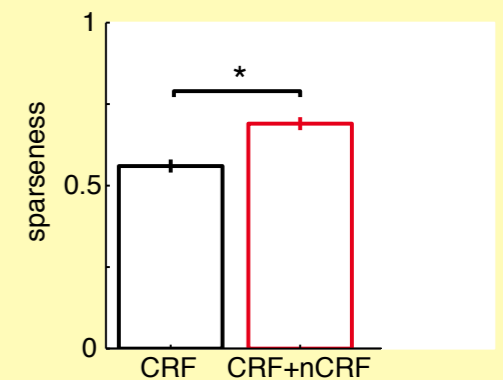
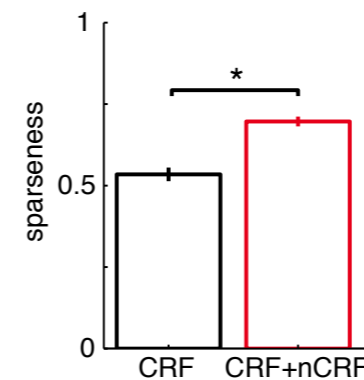
- non-linear interaction between with-receptive field and extra-receptive field stimulation



- uncertainty is affected by extra information



Cavanagh, 2000



Haider et al, Neuron 2010

roadmap

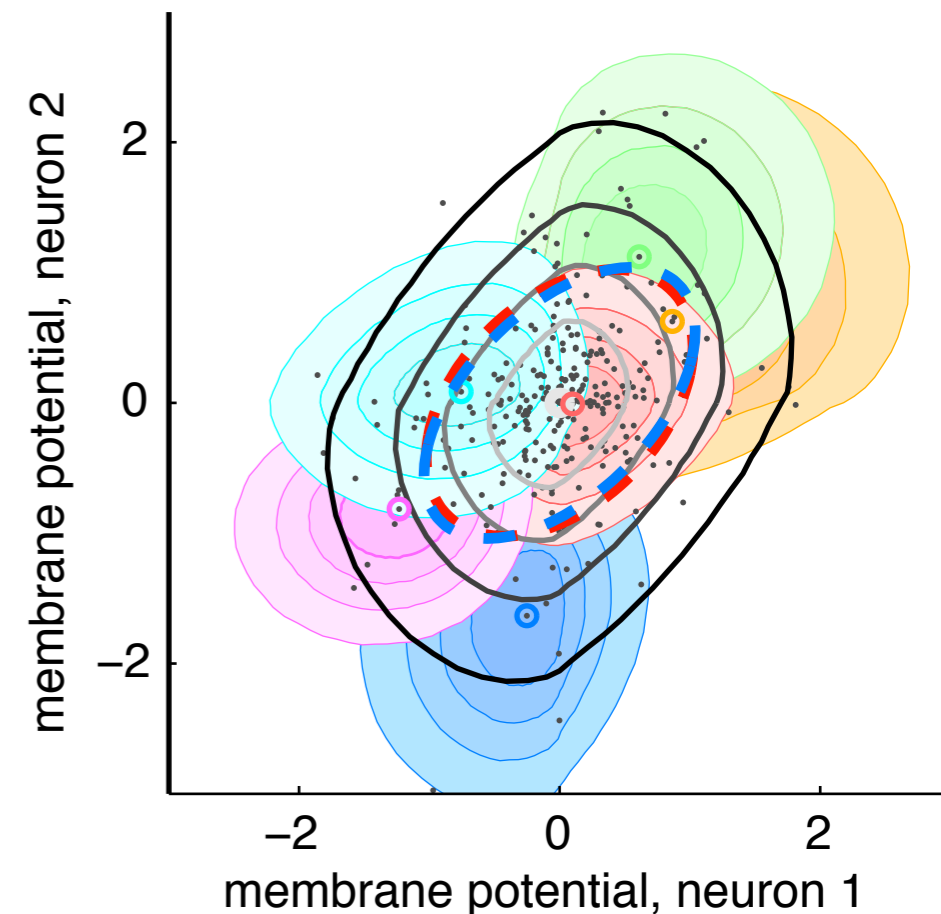
- image model
- consequence of the representation of prior
- stimulus-dependence of variability
- **stimulus dependence of covariability of multiple neurons**

Learning and correlations structure

$$P(\text{responses} \mid \text{stimulus}) \propto P(\text{stimulus} \mid \text{responses}) \times P(\text{responses})$$

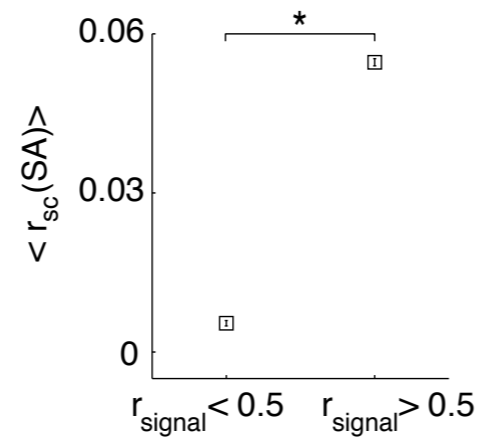
prior correlation posterior correlation signal correlation

$$C^* \approx \frac{1}{T} \left(\sum_t \Sigma(t) + \sum_t \mu(t) \mu^T(t) \right)$$

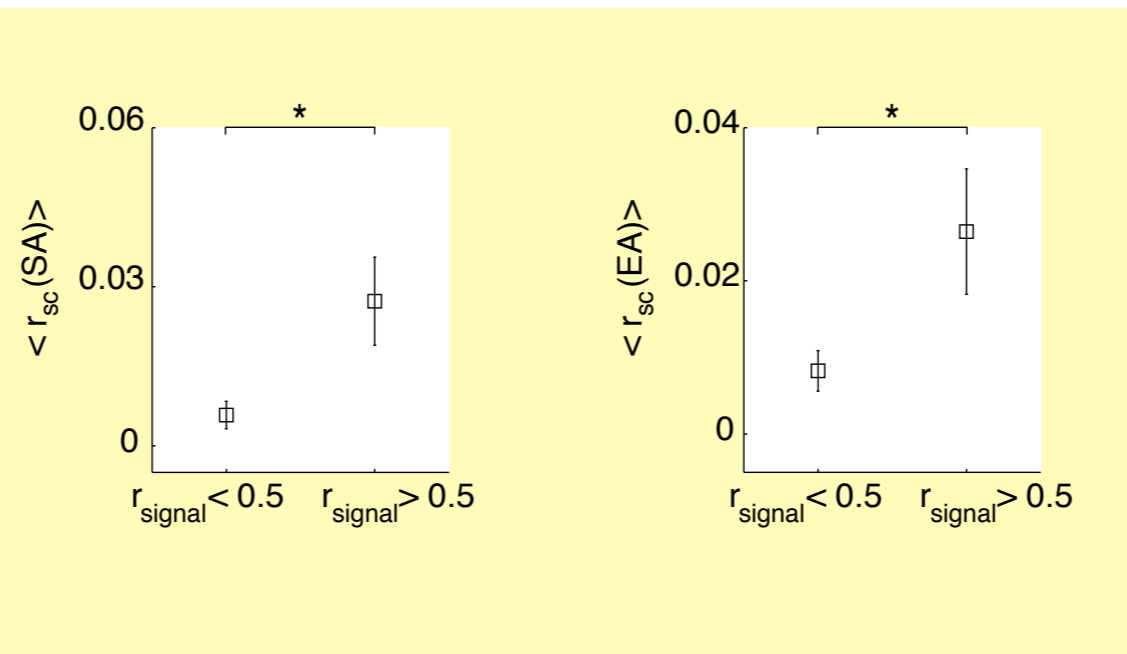
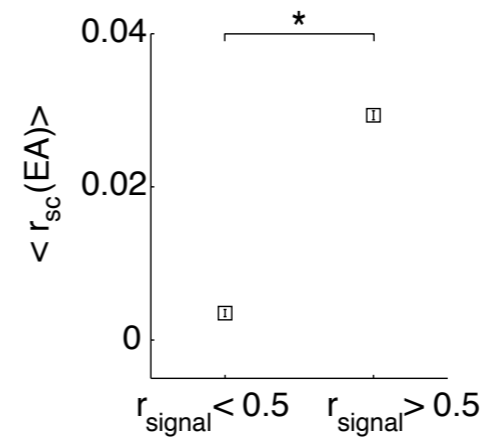


Relationship between various forms of correlations

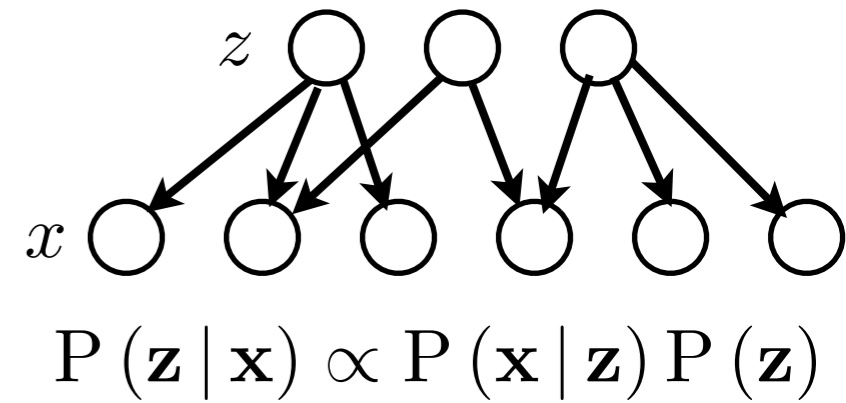
signal vs. spontaneous
correlation



signal vs. noise
correlation



Bayes inferencia

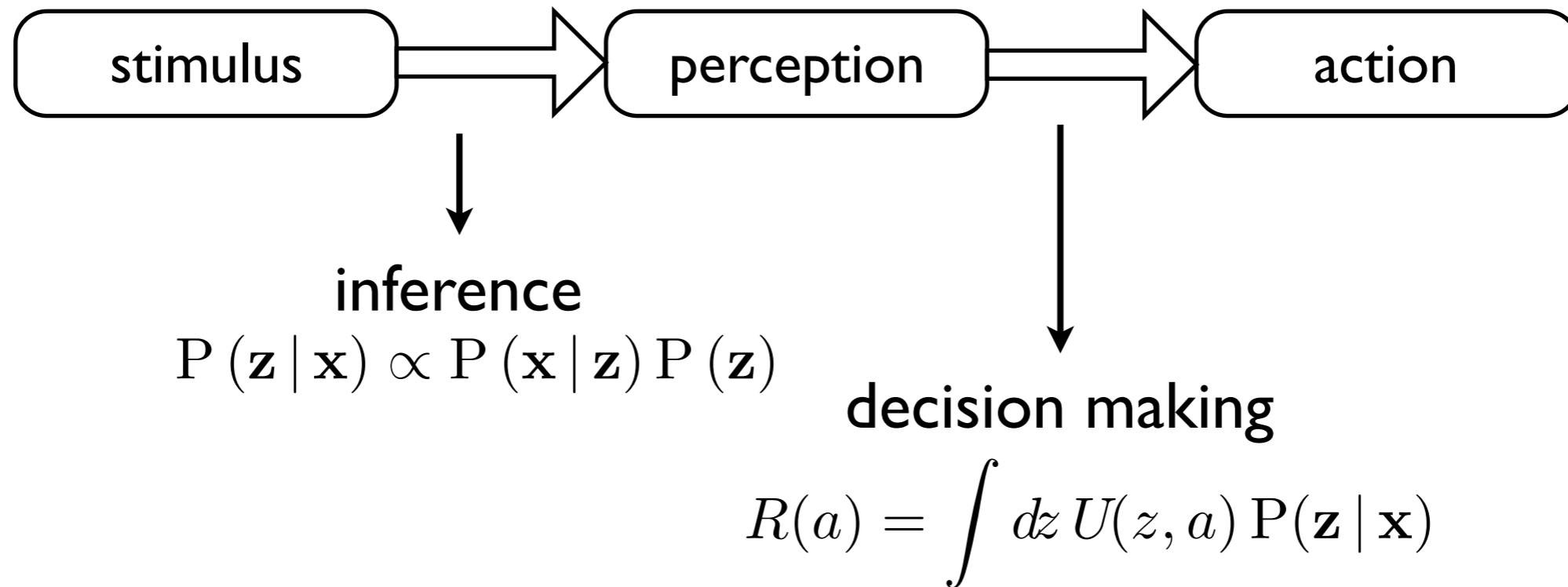


Eddig arra koncentráltunk,
hogy mi a legvalószínűbb
aktivitás

Ez a maximum a posteriori
becslés (MAP)

Bayes inferencia

Miért érdekes a poszterior eloszlás?



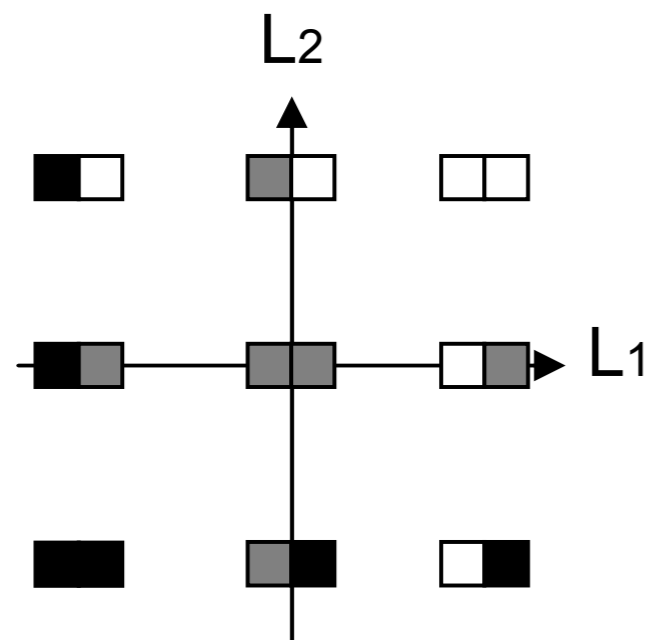
Lineáris modellek

$$P(x | z) = \text{Normal}(x; z, \theta) = C \exp \left((x - Az)^T \Sigma^{-1} (x - Az) \right)$$

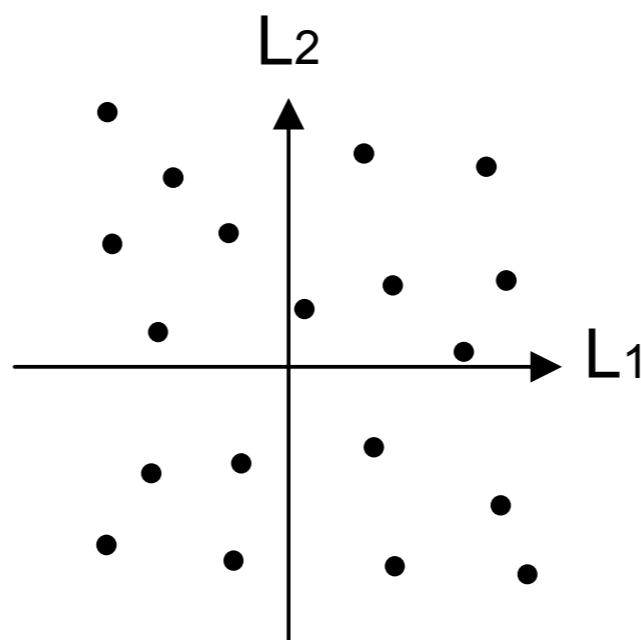
$$x = \mathbf{A} \cdot z + \epsilon$$

PCA

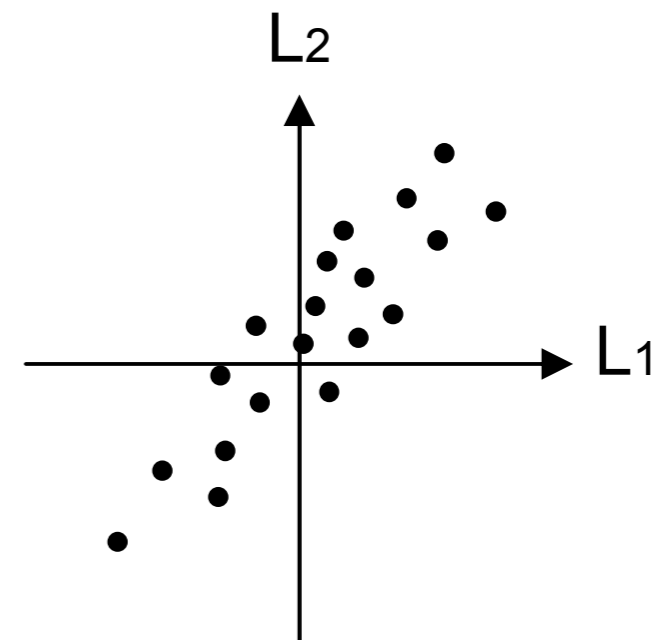
- A oszlopvektorai ortogonálisak
- $D(x) = D(z)$
- Izotróp zaj



State space of two pixel images



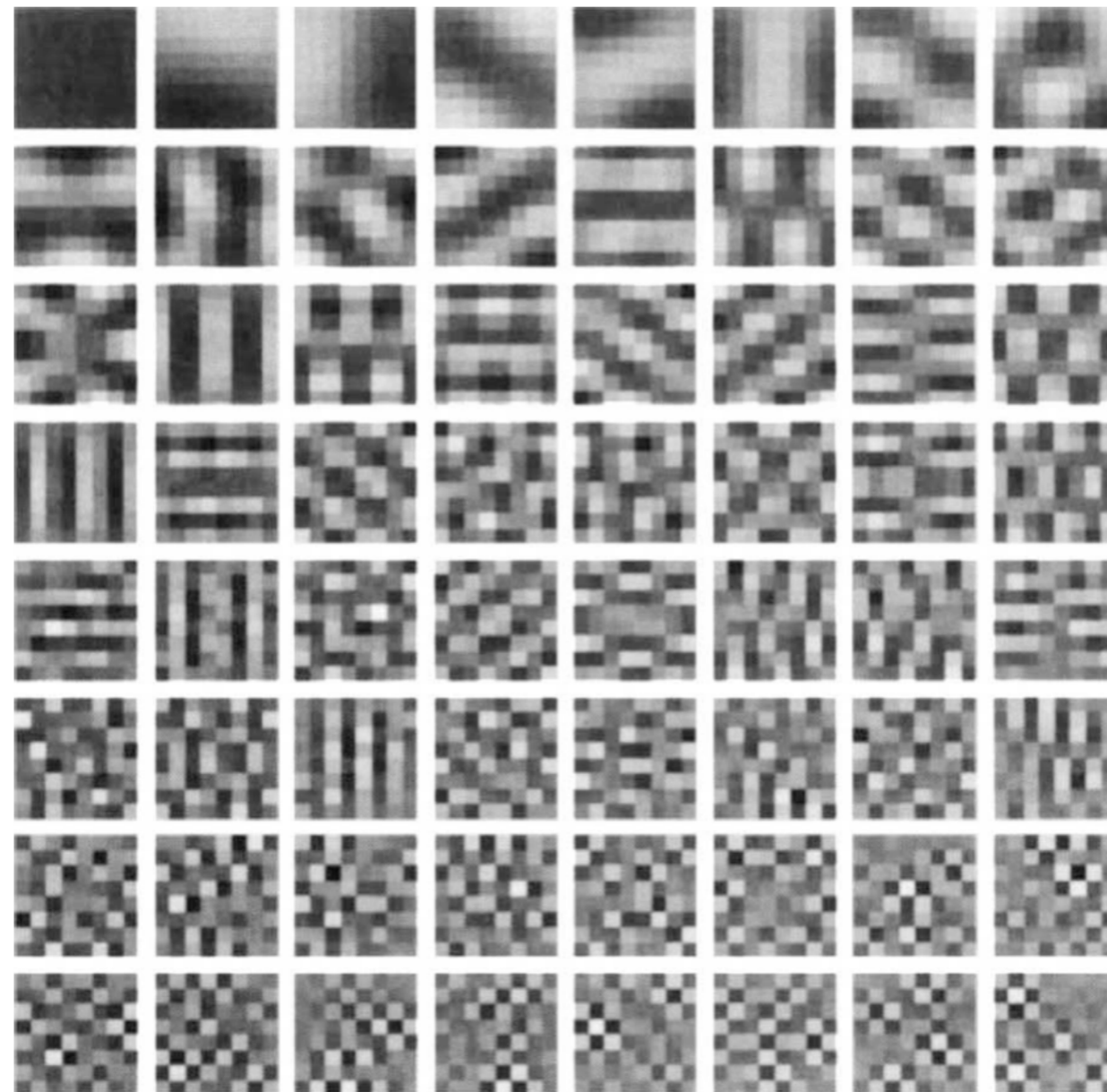
Random images



Structured images

PCA tulajdonságok

- Kompakt kódot eredményez
- Egy adatponért leírásáért általában a teljes hálózat felel



Sparse kódolás, ICA

$$x = \mathbf{A} \cdot \mathbf{z} + \epsilon$$

- “z”-k függetlenek
- y priorja “ritka” ($P(\mathbf{z})$)

Komputációs kritériumok:

- Hiteles rekonstrukció
költség egy adatpontra (képre):

$$\text{cost}_1 = \left(x - \sum_i A'_i \cdot z_i \right)^2$$

- Kis “energiafelhasználás (kevés szimultán aktív neuron)
további költség a kód “ritkasága”:

$$\text{cost}_2 = - \sum_i S \left(\frac{z_i}{\sigma} \right)$$

S a Gauss-nál nagyobb kurtózissal bíró eloszlás

- teljes költség (~energia):

$$E = -\text{cost}_1 - \lambda \text{cost}_2$$

Sparse kód tanulása: E-M

Algoritmus:

- Itéráció EM lépésekkel
- Random kezdeti feltételek
- Adott konnektivitási mátrixnál az aktivítások segítségével a költség minimalizálása
- Adott aktivitásokkal a költség minimalizálása a súlyok adaptálásával

Adott konnektivitási mátrix esetén a legjobb aktivítások megtalálása:

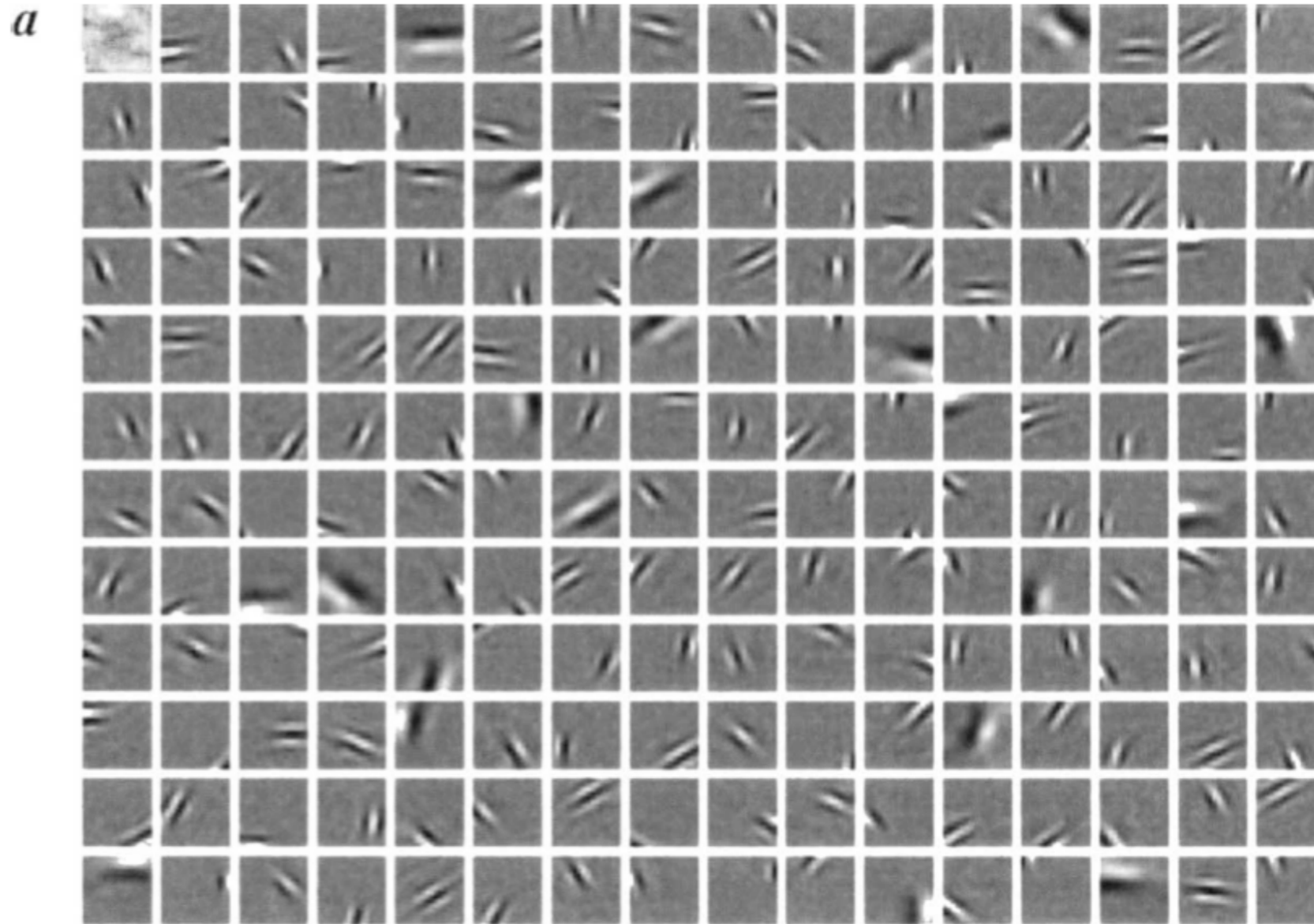
$$\dot{z}_i = \mathbf{A}_i x_t - \sum_j \mathbf{A}'_i \mathbf{A}_j z_j - \frac{\lambda}{\sigma} S' \left(\frac{z_i}{\sigma} \right)$$

Adott konnektivitási aktivációk esetén a legjobb súlyok megtalálása:

$$\Delta A_i = \eta \langle a_i [x - \hat{x}] \rangle_t$$

Sparse kódolás: eredmény

tréningezés természetes képekkel



Olshausen & Field '96

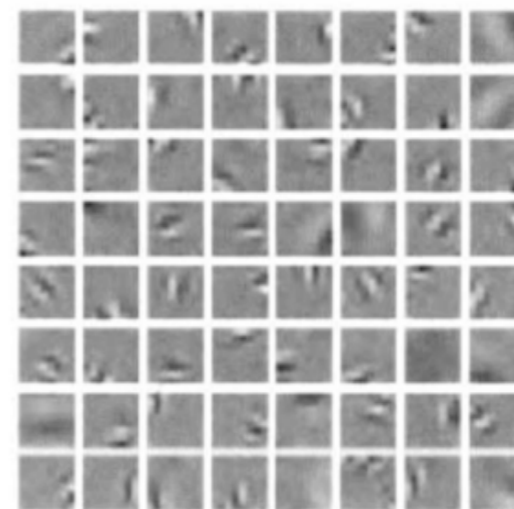
A kialakult bázis:

- irányított
- térbeli sávszűrést valósít meg
- lokalizált

Tanulás és stimulus statisztika

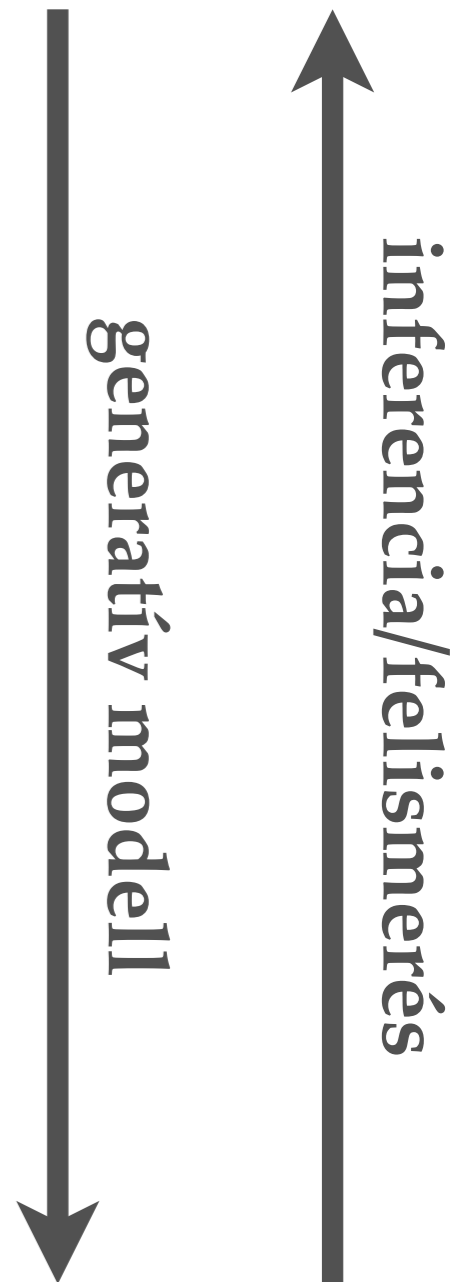
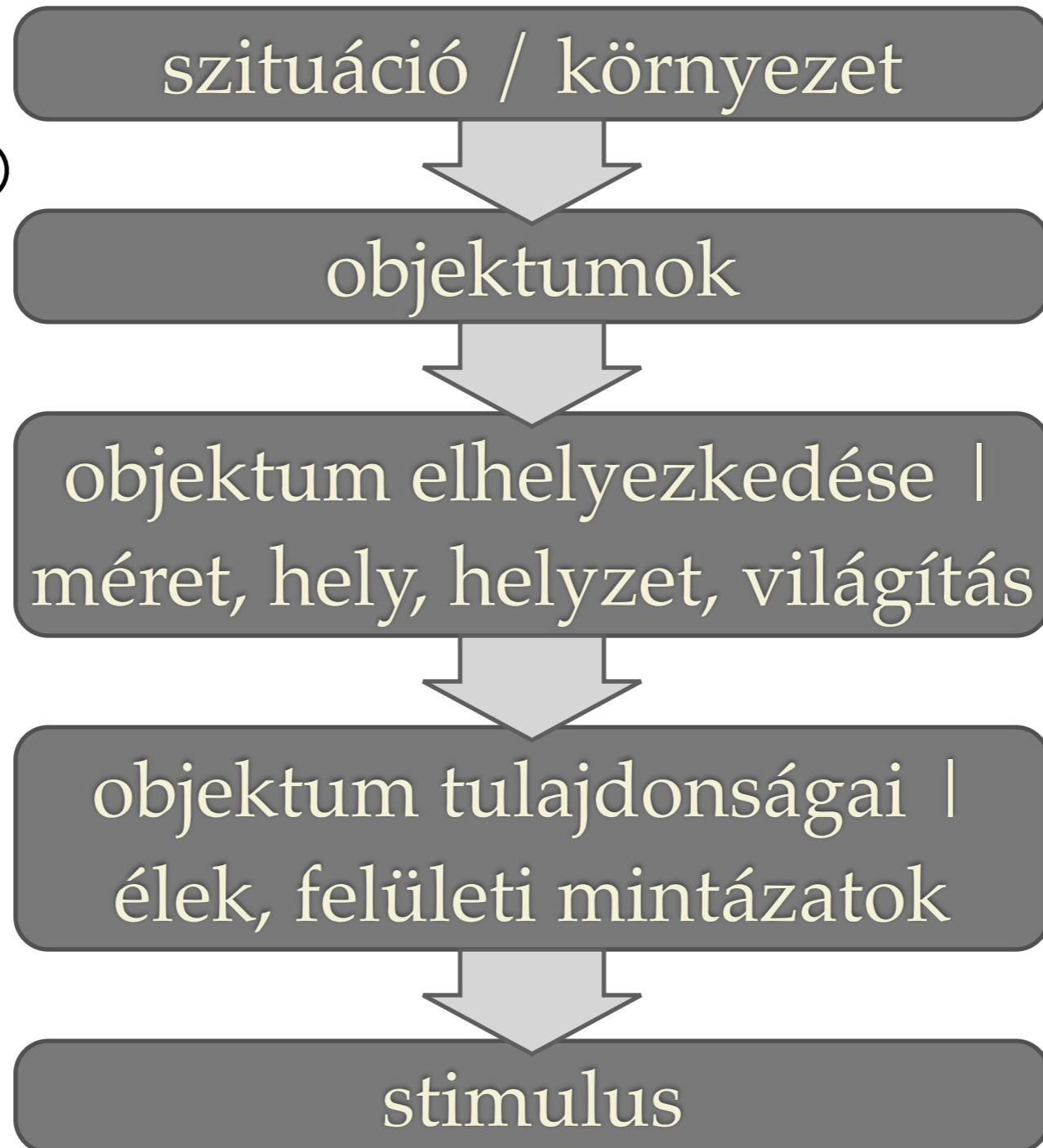
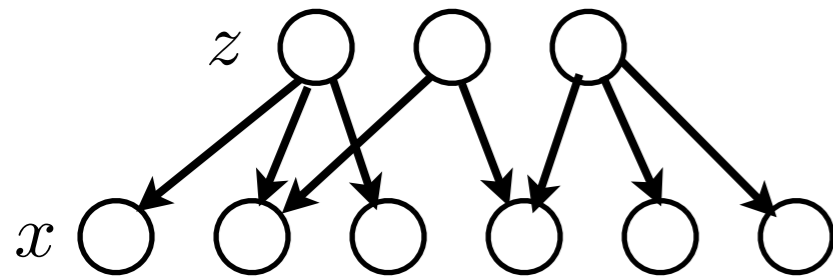
c

Sparse gabors

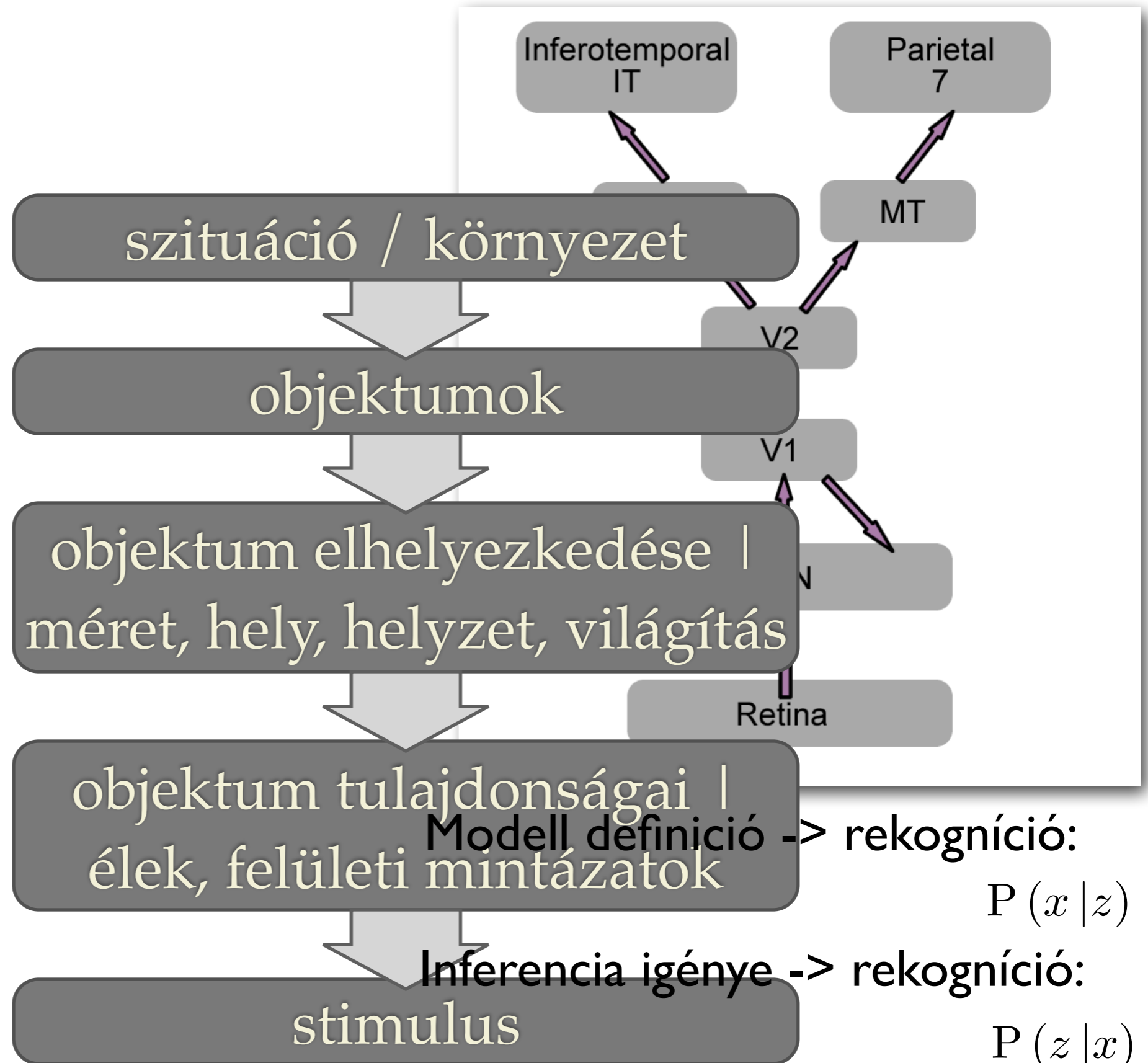


Generatív/rekogníciós modell

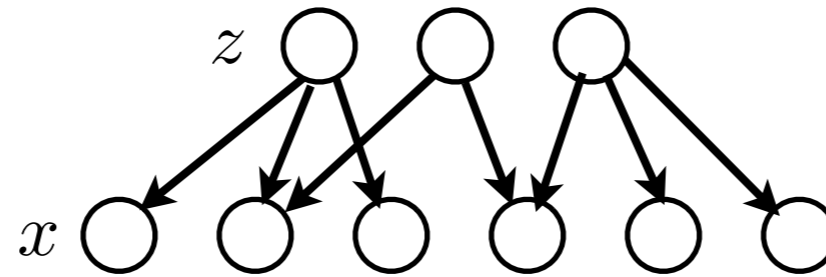
$$P(\mathbf{x}) = P(\mathbf{x} | \mathbf{z}) P(\mathbf{z})$$



Generatív/rekogníciós modell



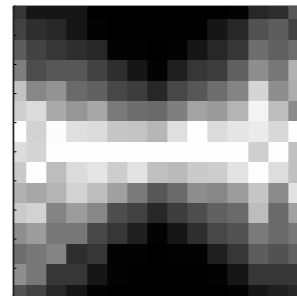
Independens komponensek



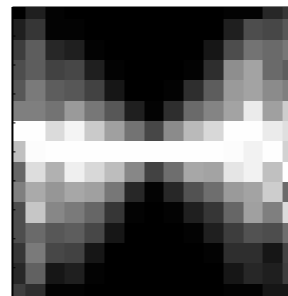
a



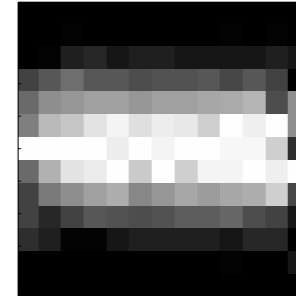
Baboon



Flowers

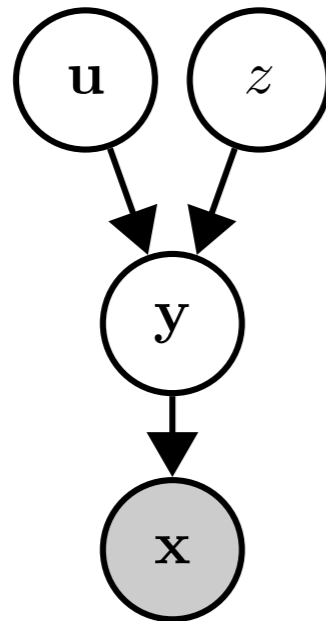


White noise



Schwartz & Simoncelli, 2001

Gaussian Scale Mixtures



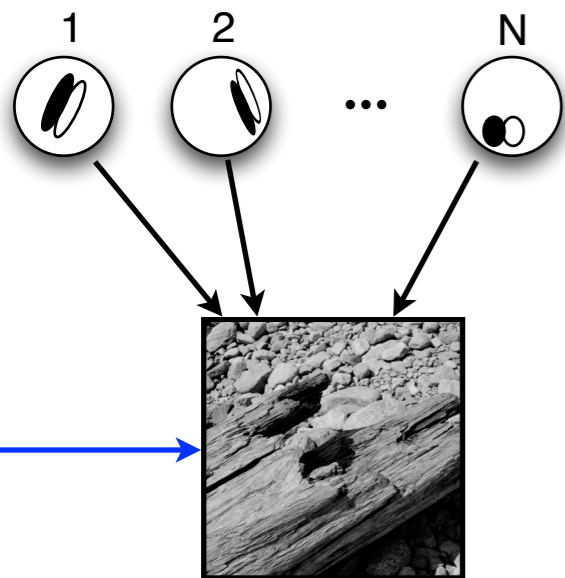
$$P(\mathbf{x}|\mathbf{y}) = \mathcal{N}(\mathbf{x}; \mathbf{A}\mathbf{y}, \sigma_x^2 \mathbf{I})$$

$$\mathbf{y} = z \mathbf{u}$$

$$P(\mathbf{u}) = \mathcal{N}(\mathbf{u}; \mathbf{0}, \mathbf{C})$$

$$P(z) = \text{Gamma}(z; k, \theta)$$

linear features



image

$$\text{image} = \text{contrast} \times (a_1 \text{feature}_1 + a_2 \text{feature}_2 + \dots + a_N \text{feature}_N + \text{noise})$$

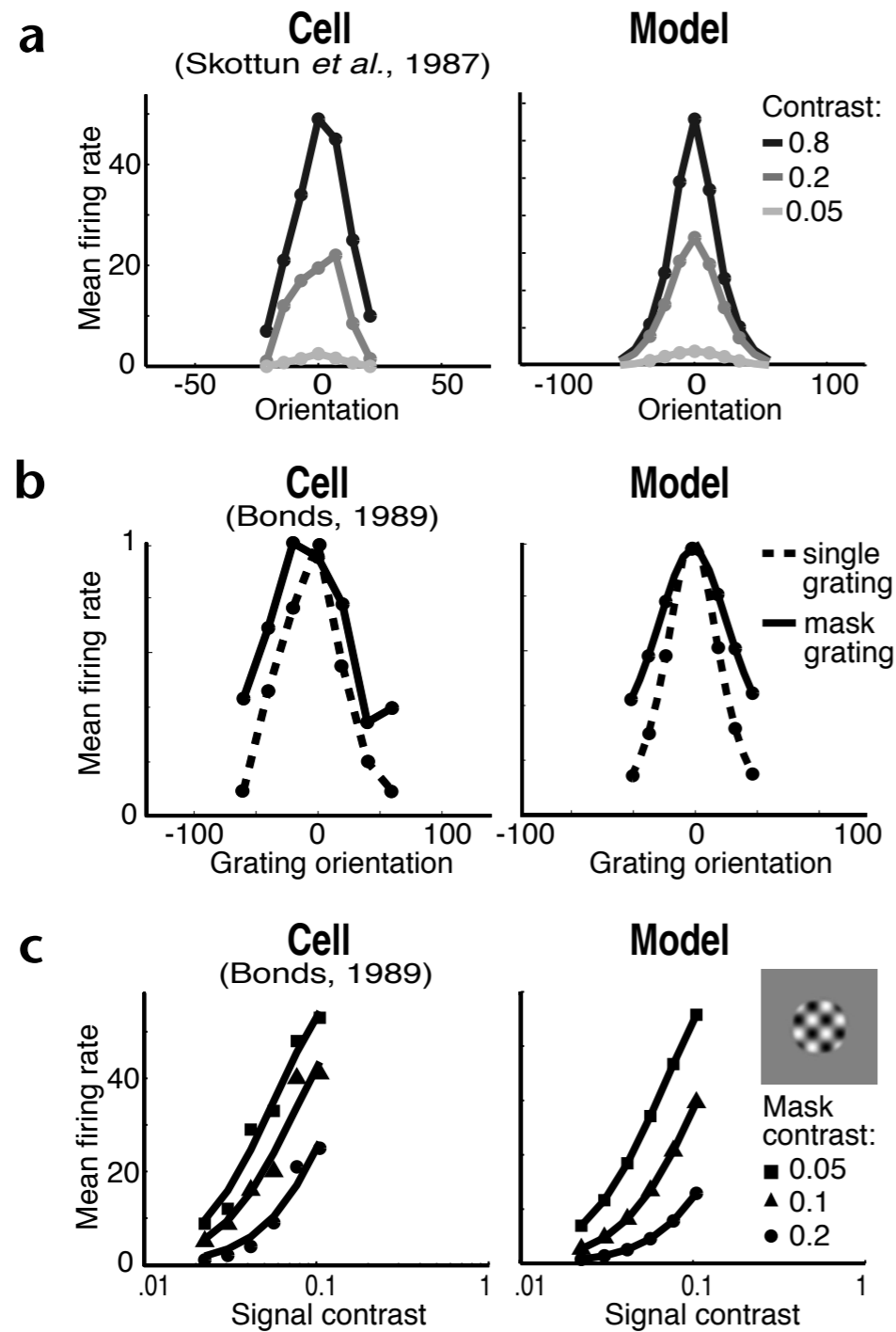
$$\text{var}(L_1|L_2) = wL_2^2 + \sigma^2$$

$$R_1 = \frac{L_1^2}{wL_2^2 + \sigma^2}$$

$$\text{var}(L_i|\{L_j, j \in N_i\}) = \sum w_{ji} L_j^2 + \sigma^2$$

$$R_i = \frac{L_i^2}{\sum_j w_{ji} L_j^2 + \sigma^2}$$

Neurális adatok és GSM



Schwartz & Simoncelli, 2001

